



## مقاله پژوهشی

## زمین‌شیمی و پتروژن توده گرانیتوئیدی و اسکارن آهن علم کندی (باختر ماهنشان، استان زنجان)

فرزاده نوری، میر علی اصغر مختاری\*، جواد ایزدیار و حسین کوهستانی

گروه زمین‌شناسی، دانشکده علوم، دانشگاه زنجان، زنجان، ایران

دریافت مقاله: ۱۳۹۹/۰۱/۱۷، پذیرش: ۱۳۹۹/۰۴/۰۸

## چکیده

کانسار آهن علم کندی در ۳۵ کیلومتری باختر ماهنشان واقع شده و بخشی از زیرپهنه تکاب-تخت‌سلیمان در مجاورت با کمان ماگمای ارومیه-دختر است. در این منطقه، واحدهای سنگی شامل تناب آمفیولیت، آمفیول شیست و بیوتیت شیست با میان‌لايه‌هایی از مرمر مربوط به پالئوزوئیک توسط توده گرانیتوئیدی علم کندی به سن الیگوسن بالایی مورد هجوم قرار گرفته و هاله دگرگونی مجاورتی و کانه‌زایی آهن در آنها تشکیل شده است. توده گرانیتوئیدی شامل گرانودیوریت، کوارتز دیوریت و دیوریت پورفیری بوده و دارای ماهیت کالک‌آلکالن تا کالک‌آلکالن پتاسیم‌بالا و متعلق به گرانیتوئیدهای متا‌لومینوس نوع I است. این توده مربوط به محیط حاشیه فعال قاره‌ای است. هاله دگرگونی مجاورتی متشكل از زیرپهنه‌های گارنت اسکارن، پیروکسن اسکارن، اپیدوت-پیروکسن اسکارن، سرپاتین اسکارن و اسکارن کانه‌دار است. مگنتیت کانی اصلی کانسار با کانی‌های پیریت و کالکوپیریت همراهی می‌شود. شواهد بافتی سنگ‌های دگرگونی مجاورتی نشان‌دهنده تشکیل هم‌زمان‌الیوین، گارنت و کلینوپیروکسن در محدوده دمایی ۴۳۰ تا ۵۵۰ درجه سانتی‌گراد و  $fO_2 = 10^{-18} - 10^{-22}$  است.

**واژه‌های کلیدی:** زمین‌شیمی، گرانیتوئید، اسکارن آهن، تکاب-تخت‌سلیمان، علم کندی، ماهنشان، زنجان

## استخراج می‌شوند (Meinert et al., 2005). یکی از منابع

شناخته شده آهن در استان زنجان، اسکارن‌های آهن هستند. این نوع ذخایر آهن محصول نفوذ توده‌های گرانیتوئیدی به داخل توالی‌های سنگی کربناته بوده و معمولاً ذخایر نسبتاً بزرگ گاه تا چند صد هزار تن را به وجود آورده‌اند. از کانسارهای شاخص اسکارن آهن در استان زنجان می‌توان به کانسارهای آهن ارجین

ذخایر اسکارنی یکی از مهم‌ترین انواع کانه‌زایی‌ها در پوسته زمین هستند که در زمان‌های مختلف زمین‌شناسی تشکیل شده‌اند (Einaudi et al., 1981; Meinert et al., 2005). بزرگ‌ترین ذخایر اسکارنی، اسکارن‌های آهن است که به‌منظور بهره‌برداری آهن و نیز مقادیر فرعی مس، کبالت، نیکل و طلا

نفوذ آنها به داخل واحدهای سنگی کربناته قدیمی‌تر، احتمال وجود کانی‌سازی‌های مشابه در مناطق مجاور و دیگر نقاط استان وجود دارد. نتایج این پژوهش می‌تواند در شناسایی این کانه‌زایی‌ها و شرایط تشکیل آنها مفید واقع شود.

### زمین‌شناسی

در تقسیم‌بندی پهنه‌های زمین‌ساختی - چینه‌نگاری ایران، منطقه علم کنندی بخشی از پهنه سنتنج - سیرجان (Alavi, 1994) را در بخش‌های شمالی آن و در زیرپهنه تکاب - تخت‌سليمان و در مجاورت با کمان ماغمایی ارومیه - دختر تشکیل می‌دهد (شکل ۱). این منطقه در گوشه جنوب‌خاوری ورقه ۱:۱۰۰۰۰ Babakhani and Ghalamgash, 1996) زمین‌شناسی تخت‌سليمان ( قرار دارد. بر اساس نقشه مزبور، منطقه مورد بررسی غالب متشكل از مجموعه سنگ‌های دگرگونه پالئوزوئیک و واحدهای آتشفسانی - رسوبی سنوزوئیک است. توده گرانیتوئیدی مورد بررسی با عنوان گرانیتوئید علم کنندی نیز در نقشه مزبور به مزو佐ئیک منتب شده است. بر اساس نقشه زمین‌شناسی ۱:۲۰۰۰۰ تهیه شده از منطقه (شکل ۲)، واحدهای سنگی موجود در منطقه مورد بررسی شامل تناوب آمفیبولیت، آمفیبول شیست و بیوتیت شیست با میان‌لايه‌هایی از مرمر (واحد  $Mt^{am}$ ) و مرمرهای روشن رنگ متوسط‌لایه (واحد mb) مربوط به پالئوزوئیک و واحدهای آتشفسانی - رسوبی مربوط به الیگوسن (واحدهای  $O^{vt}$  و  $O^v$ ) هستند. در بخش‌های مرکزی تا شمال‌خاوری منطقه مورد بررسی، توده گرانیتوئیدی علم کنندی به داخل توالی دگرگونه پالئوزوئیک نفوذ کرده و موجب تشکیل هاله‌های دگرگونی مجاورتی در منطقه شده است که با کانه‌زایی آهن همراه است (شکل ۲).

بخش عده منطقه مورد بررسی متشكل از توالی آمفیبولیت، آمفیبول شیست و بیوتیت شیست با میان‌لايه‌های مرمر (واحد  $Mt^{am}$ ) است (شکل ۳). بخش‌های آمفیبولیتی و آمفیبول شیستی در این واحد غالب بوده و روند برگوارگی آنها شمال‌باخر - جنوب‌خاور است. در نتیجه تزریق توده گرانوپیوریتی

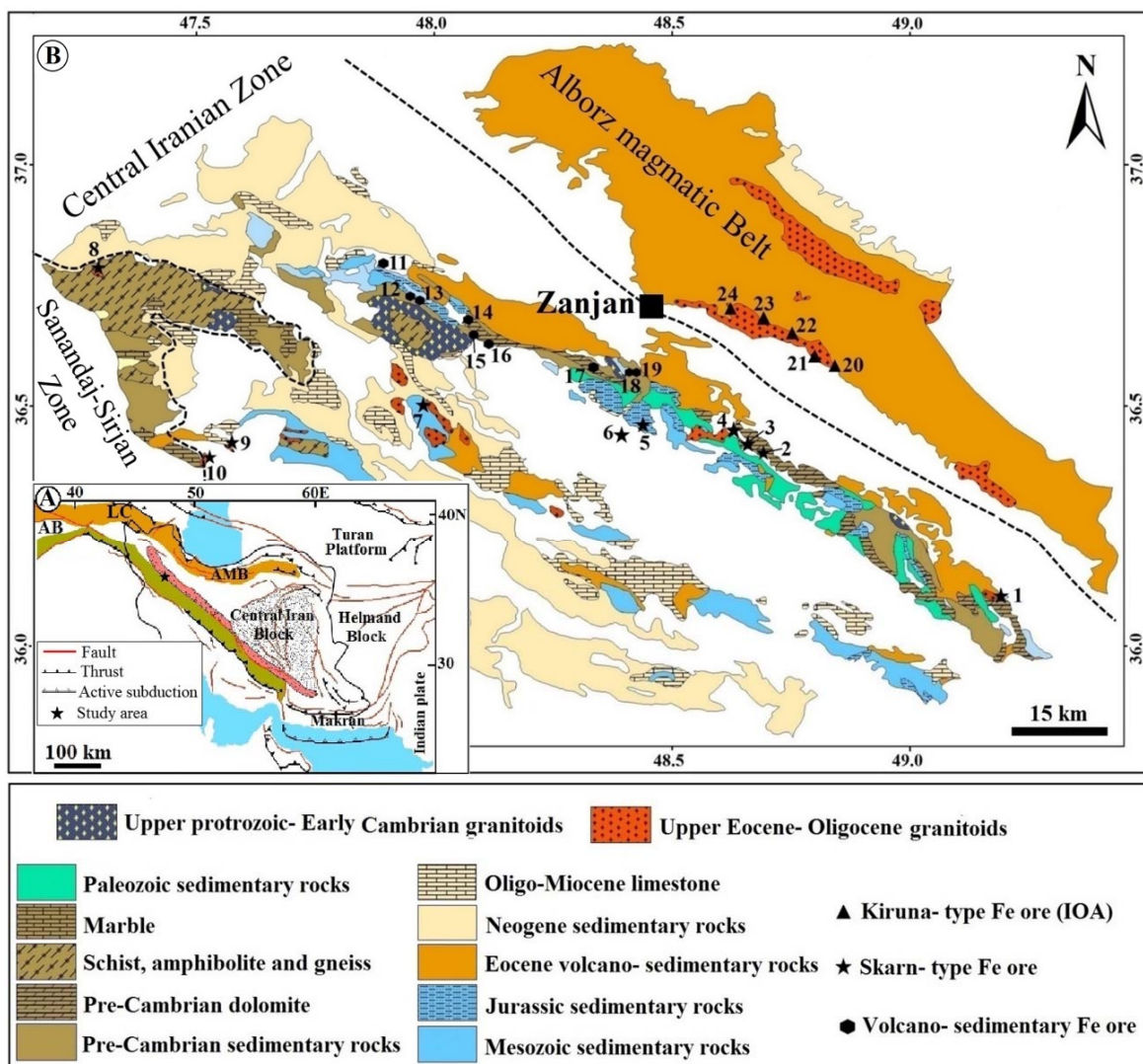
(Andarz, 2006; Besharati et al., 2010) گوزل دره (Shahbazi et al., 2019) باشکند (Moghaddasi et al., 2019) قوزلو (Mokhtari et al., 2019; Shafaiepour et al., 2015) خاکریز (Mohammad Beigi, 2017) قواف (Fakhr Shafaie, 2016) و اینچه‌رهبری (Hamidvand, 2016) اشاره کرد (شکل ۱). کانسار آهن شهرک در مجاورت مرز باختری استان زنجان و در داخل استان کردستان، با ذخیره حدود ۱۰۸ میلیون تن (Hosseini et al., 2017) نیز از نوع اسکارنی گزارش شده است (Sheikhi, 2005; Maanijou and Salemi, 2014; Maanijou and Khodaie, 2018). کانسار آهن علم کنندی یکی از کانسارهای آهن اسکارنی موجود در استان زنجان است که در فاصله حدود ۳۵ کیلومتری باختر ماهنشان و ۱۰۵ کیلومتری شمال باختر زنجان واقع شده است (شکل ۱). برخی از کانسارهای آهن اسکارنی یادشده، در سال‌های اخیر در قالب پایان‌نامه‌های دانشگاهی و گاه طرح‌های پژوهشی (مانند معانی جو و سالمی، شهبازی و همکاران، نباتیان و همکاران، مختاری و همکاران و شفایی‌پور و همکاران Maanijou and Salemi, 2014; Shahbazi et al., 2015; Nabatian et al., 2017; Mokhtari et al., 2019; Shafaiepour et al., 2020) مورد بررسی قرار گرفته و اطلاعات ارزشمندی در رابطه با زمین‌شناسی و کانی‌سازی آنها موجود است. با وجود این پژوهش‌ها، تاکنون مطالعه علمی دقیقی بر روی کانسار آهن اسکارنی علم کنندی و توده گرانیتوئیدی همراه آن انجام‌شده و تنها مطالعه انجام‌شده شامل بررسی‌های اکتشافی صورت گرفته بر روی کانه‌زایی است. نتیجه این بررسی‌ها به معرفی ذخیره قطعی ۱۵۰۰۰ تن با عیار Fe ۵۲ درصد منجر شده است (Rafiee, 2007). بر این حدود اساس، پترولوزی و زمین‌شیمی توده گرانیتوئیدی علم کنندی و هاله دگرگونی مجاورتی آن به همراه ویژگی‌های سنگ‌شناسی، ساخت و بافت، کانی‌شناسی کانسنگ آهن و شرایط ترمودینامیکی تشکیل هاله اسکارنی، برای این پژوهش مدنظر قرار گرفت. با توجه به گسترش توده‌های گرانیتوئیدی مشابه با گرانیتوئید مورد بررسی در بخش‌های مختلف استان زنجان و

مرمر، هاله اسکارنی و کانه‌زایی آهن تشکیل شده است (شکل

.۳)

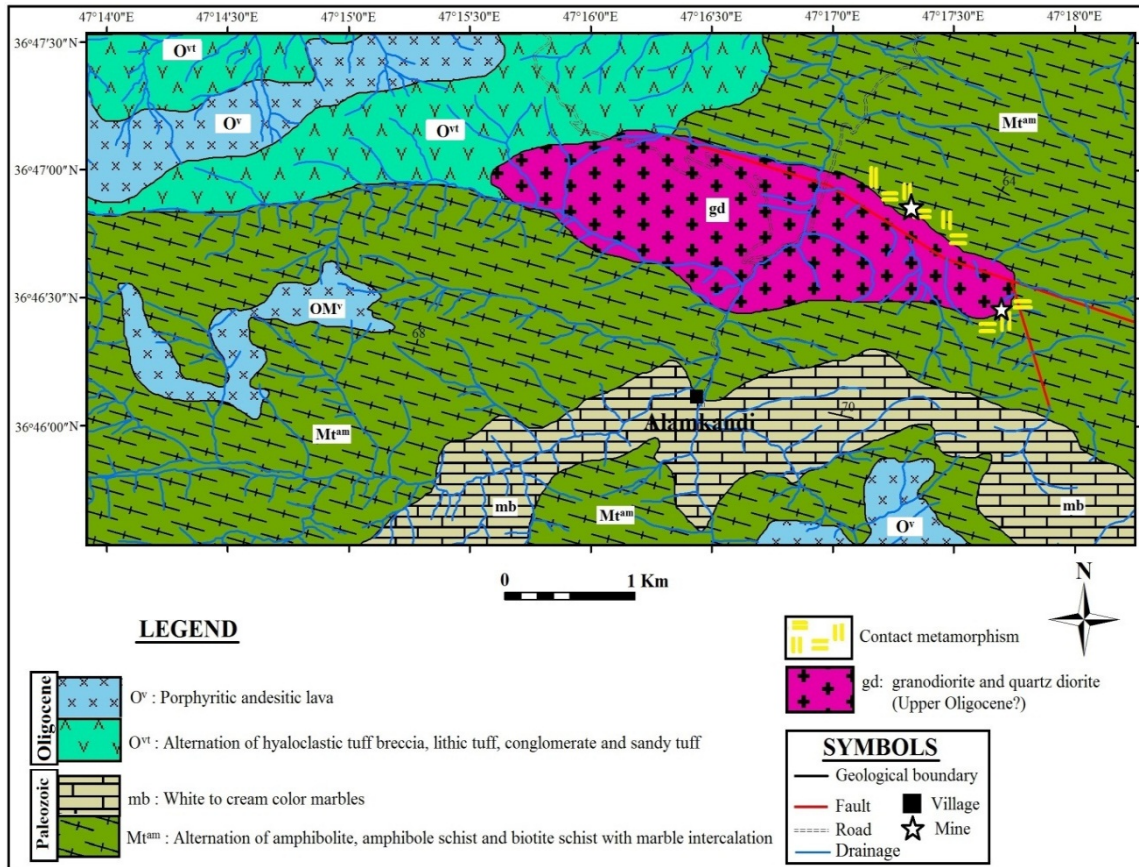
علم کندی به داخل این سنگ‌ها، آثار دگرگسانی و دگرگونی در

مرز تماس مشاهده می‌شود که در بخش‌های حاوی واحدهای



شکل ۱. A: نقشه زمین‌شناسی ساده‌شده ایران و مناطق مجاور. با تغییرات از رمضانی و تاکر (Ramezani and Tucker, 2003). موقعیت منطقه علم کندی با علامت ستاره مشکی بر روی آن مشخص شده است. ( LC- Lesser Caucasus; AB- Anatolian Block; AMB- Alborzmagmatic ) و B: نقشه زمین‌شناسی ساده‌شده بخش عمده استان زنجان که موقعیت انواع ذخایر آهن بر روی آن مشخص شده است، با کمی تغییرات از مختاری و همکاران (Mokhtari et al., 2019). ۱- کوه‌جین، ۲- ارجین، ۳- باشکند، ۴- گوزل دره، ۵- خاکریز، ۶- اینچه‌رهبری، ۷- قوزلو، ۸- علم کندی، ۹- قواق، ۱۰- شهرک، ۱۱- قاضی کندی، ۱۲- تورپاخلو، ۱۳- میرجان، ۱۴- گلچیک، ۱۵- کاوند، ۱۶- حسین‌آباد، ۱۷- چورزق، ۱۸- ریحان، ۱۹- ازدهاتو، ۲۰- سرخه دیزج، ۲۱- مروارید، ۲۲- ذاکر، ۲۳- گلستان‌آباد، ۲۴- زرنان

**Fig. 1.** A: Simplified structural map of Iran and adjacent regions and location of study area (modified after Ramezani and Tucker, 2003). Location of the study area is shown by a black star, and B: Simplified geological map of main part of the Zanjan province showing the location of different types of Fe deposits (modified after Mokhtari et al., 2019). 1- Kouhjin; 2- Arjin; 3- Bashkand; 4- Qozal Darreh; 5- Khakriz; 6- Inche Rahbari; 7- Qozlou; 8- Alamkandi; 9- Qovaq; 10- Shahruk; 11- Qazikandi; 12- Torpakhlu; 13- Mirjan; 14- Goljic; 15- Kavand; 16- Hossein Abad; 17- Chavarzaq; 18- Reyhan; 19- Azhdehatou; 20- Sorkheh Dizaj; 21- Morvarid; 22- Zaker; 23- Golestan Abad; 24- Zarnan



شکل ۲. نقشه زمین‌شناسی تهیه شده از کانه‌زایی آهن علم کندی

Fig. 2. Geological map of the Alamkandi Fe mineralization

بخش‌های شمال‌باختری منطقه مورد بررسی قابل مشاهده است (شکل ۲). ترکیب سنگی این واحد از نوع آندزیتی بوده و به عنوان محصول فعالیت آتش‌فشانی در زیر آب مشخص شده‌اند (Babakhani and Ghalamgash, 1996). شواهد صحراوی بیان‌گر آن است که توده گرانیتوئیدی به داخل این واحد سنگی تزریق شده است که در نتیجه این فرایند، پهنه دگرسانی آرژیلیکی در مرز تماس مشاهده می‌شود. واحد O<sup>v</sup> متشکل از گدازه‌های پورفیری با ترکیب آندزیتی به رنگ خاکستری، قهوه‌ای و بنفش بوده و آخرین فعالیت آتش‌فشانی مربوط به الیگوسن در منطقه مورد بررسی است. این واحد در گوشه شمال‌باختری، باختر و مرز جنوب‌خاوری منطقه مورد بررسی قابل مشاهده است (شکل ۲). این سنگ‌ها دارای ساخت منشوری

واحد مرمر (mb) با یک روند تقریبی خاوری-باختری و در توالي با واحد Mt<sup>am</sup> در بخش‌های جنوبی منطقه رخمنون دارد (شکل‌های ۲ و ۴-۴). این واحد سنگی، میزبان کانه‌زایی سرب‌روی علم کندی در جنوب منطقه مورد بررسی است. همچنین می‌توان لایه‌های مرمر را به صورت میان‌لایه در داخل واحد Mt<sup>am</sup> مشاهده کرد (شکل ۴-۴) که در محل کانسار آهن علم کندی، در نتیجه نفوذ توده گرانوویوریتی، متحمل دگرگونی مجاورتی و متاسوماتیسم شده و کانه‌زایی آهن در داخل آنها تشکیل شده است.

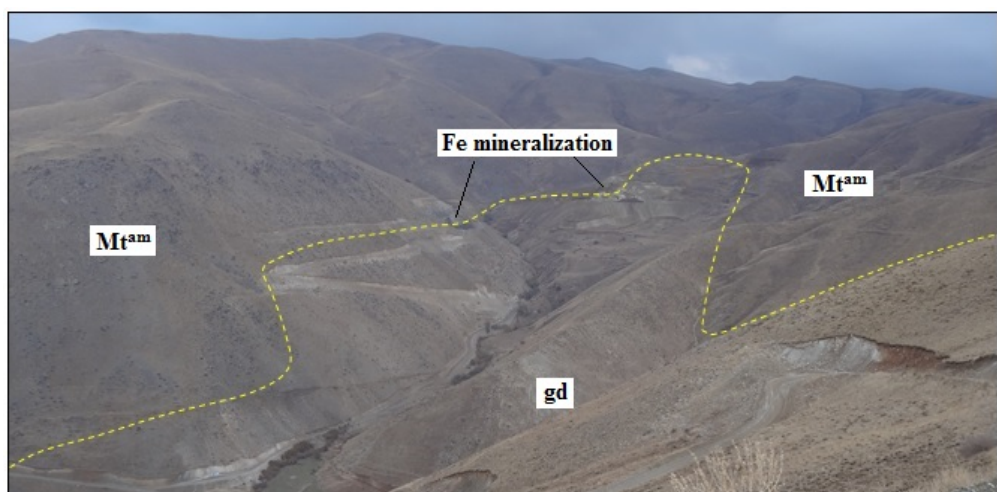
سنگ‌های آتش‌فشانی-رسوبی الیگوسن (واحد O<sup>vt</sup>) متشکل از توالی توف‌برش هیالوکلاستیک، لیتیک توف، کنگلومرا و توف ماسه‌ای ضخیم‌لایه تا توده‌ای به رنگ سبز-خاکستری بوده و در

مجاورتی و کانسار آهن علم کندی در مرز تماس این توode با سنگ‌های اطراف منجر شده است (شکل‌های ۳ و ۴). (B-Bakhshizad and Ghorbani, 2015).

کانه‌زایی آهن در دو جبهه شمال‌خاوری و جنوب‌خاوری توode تشکیل شده است (شکل ۳). توode‌های گرانیتوئیدی مشابه موجود در شمال این منطقه، به الیگوسن بالایی (۲۶-۲۴ میلیون سال) منتب شده‌اند (Bakhshizad and Ghorbani, 2015).

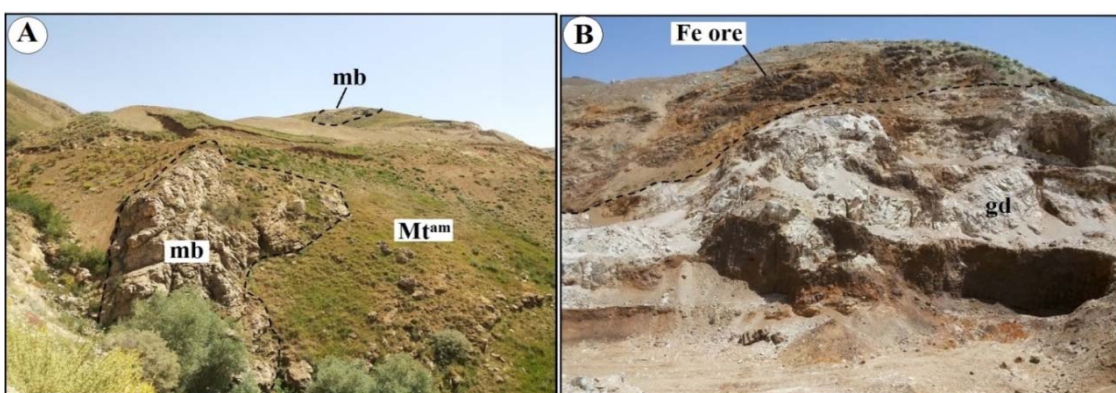
در قسمت‌های پایین و ساخت‌برشی در بخش‌های بالایی هستند (Babakhani and Ghalamgash, 1996).

در بخش‌های مرکزی منطقه مورد بررسی، توode گرانیتوئیدی علم کندی به صورت عدسی شکل با روند تقریبی خاوری-باختری رخنمون دارد (شکل ۲). این توode دارای ترکیب گرانودیوریتی تا کوارتزدیوریتی بوده و به داخل توالی دگرگونی پالیزوئیک نفوذ کرده و به تشکیل هاله دگرگونی



شکل ۳. نمایی از تناوب واحد  $Mt^{am}$  با ترکیب آمفیولیت و آمفیبول شیست با میان‌لایه‌های مرمر که توسط توode گرانودیوریتی (gd) مورد هجوم قرار گرفته است (دید به سمت خاور). موقعیت کانسار آهن علم کندی در مرز تماس گرانودیوریت با سنگ‌های میزان مشخص شده است.

**Fig. 3.** A view from the  $Mt^{am}$  unit composed of amphibolite and amphibole schist with marble intercalation which is intruded by granodiorite (gd) (view to east). Location of the Alamkandi Fe deposit marked in contact of granodiorite with host rocks.



شکل ۴. A: نمایی از میان‌لایه مرمر (mb) در داخل واحد دگرگونه  $Mt^{am}$  در منطقه علم کندی (دید به سمت جنوب) و B: نمایی از توode گرانودیوریتی (gd) در مرز تماس با سنگ‌های میزان و تشکیل کانه‌زایی آهن در منطقه علم کندی (دید به سمت جنوب‌باختر)

**Fig. 4.** A: A view from intercalations of marbles (mb) within the metamorphosed  $Mt^{am}$  unit in Alamkandi area (view to the south), and B: A view from the granodiorite intrusion (gd) in contact with host rocks and formation of Fe mineralization in Alamkandi area (view to the southwest)

مختلفی به سریسیت، کلستیت و گاه اپیدوت دگرسان شده‌اند. کوارتز اغلب به صورت بلورهای ریز با فراوانی حدود ۲۰ تا ۳۰ درصد در متن سنگ حضور دارد. آلکالی فلدسپارها در همراهی با کوارتز و با فراوانی کمتر از ۱۵ درصد حضور دارند. آمفیبولها از نوع اکتینولیت (شکل B-۵) و اغلب محصول دگرسانی آمفیبولهای اولیه (هورنبلند) بوده و گاه از دگرسانی کلینوپیروکسن نیز حاصل شده‌اند که بقایای کلینوپیروکسن در داخل اکتینولیت‌ها قابل مشاهده هستند. اکتینولیت‌ها فراوانی حدود ۱۵ درصد دارند. بیویت به صورت بلورهای ورقه‌ای با فراوانی حدود ۲ درصد در متن سنگ پراکنده است. کلینوپیروکسن، اسفن، زیرکن و کانی‌های کدر به عنوان کانی‌های فرعی این سنگ‌ها هستند. کوارتز دیوریت‌ها دارای بافت‌های پورفیروئیدی تا سری‌ایتی و گرانولار بوده و متشكل از کانی‌های پلاژیوکلاز، کلینوپیروکسن، آمفیبول و کوارتز به همراه کانی‌های فرعی آلکالی فلدسپار، اسفن و کانی‌های کدر هستند. پلاژیوکلاز به صورت بلورهای شکل دار تا نیمه‌شکل دار با فراوانی ۶۰ تا ۶۵ درصد مشاهده می‌شود (شکل C-۵). برخی بلورهای دارای منطقه‌بندی هستند. کلینوپیروکسن دیگر کانی عمدۀ سنگ است که دارای فراوانی حدود ۱۰ درصد بوده (شکل D-۵) و به صورت بلورهای شکل دار تا نیمه‌شکل دار حضور دارند. کلینوپیروکسن‌ها با درجه‌های متغیری به اکتینولیت و کلستیت دگرسان شده‌اند. آمفیبول با فراوانی حدود ۱۵ درصد حضور دارد. این کانی‌ها اغلب از نوع اکتینولیت بوده و محصول دگرسانی کلینوپیروکسن هستند. کوارتز به صورت بلورهای کوچک و بی‌شکل با فراوانی حداقل ۱۰ درصد در بین دیگر کانی‌ها حضور دارد (شکل D-۵). آلکالی فلدسپار (ارتوز) در برخی نمونه‌ها با فراوانی کمتر از ۵ درصد حضور دارد. دیوریت پورفیری‌ها دارای بافت پورفیری بوده و متشكل از درشت‌بلورهای پلاژیوکلاز و آمفیبول هستند که در زمینه‌ای از همین کانی‌ها حضور دارند (شکل E-۵). پلاژیوکلازها اغلب شکل دار بوده و برخی بلورها دارای منطقه‌بندی مشخص هستند. دگرسانی به اپیدوت در برخی بلورها قابل مشاهده است (شکل

## روش مطالعه

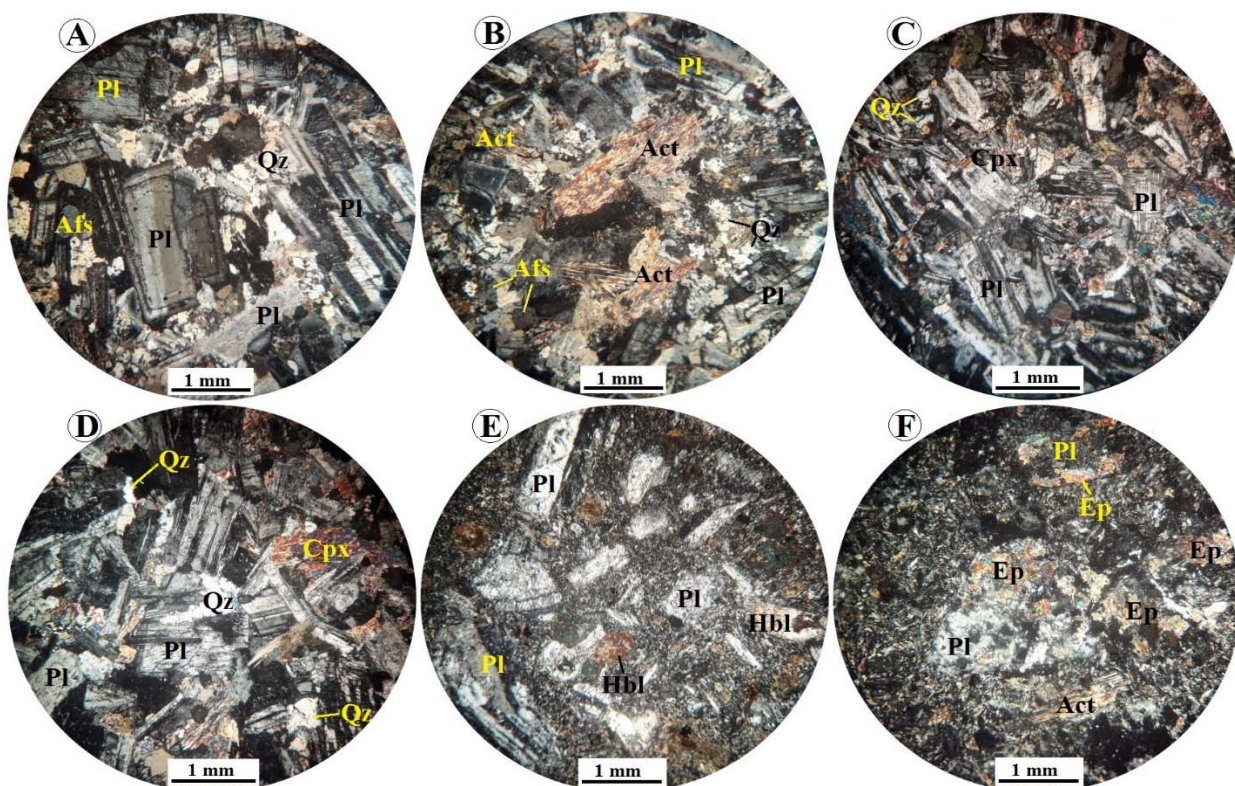
این پژوهش شامل دو بخش بررسی‌های صحرایی و آزمایشگاهی است. بررسی‌های صحرایی شامل شناسایی بخش‌های مختلف توده نفوذی و هاله‌های اسکارنی و کانه‌زایی و نمونه‌گیری از آنها برای بررسی‌های آزمایشگاهی است. در این راستا، علاوه بر انجام بررسی‌های صحرایی و تهیه نقشه زمین‌شناسی مقیاس ۱:۲۰۰۰۰، ۶۵ نمونه از واحدهای سنگی مختلف برداشت شد. از این بین، تعداد ۱۹ مقطع نازک و ۱۳ مقطع نازک-صیقلی برای بررسی‌های سنگ‌شناختی و کانه‌نگاری تهیه شد. سپس برای انجام بررسی‌های زمین‌شیمیایی و اندازه‌گیری عناصر اصلی، کمیاب و کمیاب خاکی، تعداد ۷ نمونه از توده گرانیتوئیدی و ۸ نمونه از بخش‌های مختلف هاله ICP-MS و XRF در شرکت زرآزم تهران مورد تجزیه قرار گرفتند. میزان دقت برای عناصر کمیاب و کمیاب خاکی بین ۳ تا ۵ درصد بوده است. تفسیر ویژگی‌های زمین‌شیمیایی و جایگاه زمین‌شناختی توده گرانیتوئیدی و هاله اسکارنی با بهره‌گیری از نتایج به دست آمده و با استفاده از نمودارهای زمین‌شیمیایی مرتبط انجام شد.

## سنگ‌شناختی توده نفوذی

بررسی‌های سنگ‌شناختی نمونه‌های برداشت شده از توده گرانیتوئیدی علم کنندی نشان می‌دهد، این سنگ‌ها شامل گرانودیوریت، کوارتز دیوریت و دیوریت پورفیری بوده و بخش عده آن دارای ترکیب کوارتز دیوریت است. در برخی نقاط، دایک‌های با ترکیب آپلیتی، این توده را قطع کرده‌اند. گرانودیوریت‌ها دارای بافت گرانولار بوده و متشكل از کانی‌های پلاژیوکلاز، کوارتز، آلکالی فلدسپار، آمفیبول و بیویت هستند. پلاژیوکلازها به صورت بلورهای شکل دار تا نیمه‌شکل دار با فراوانی حدود ۴۵ درصد حضور داشته و ابعاد آنها به  $\frac{3}{5}$  میلی‌متر می‌رسد. برخی بلورها دارای منطقه‌بندی هستند (شکل A-۵). بلورهای پلاژیوکلازها با درجه‌های

ارتوز با فراوانی ۴۰ درصد، کوارتز با فراوانی ۳۰ درصد و پلازیوکلاز با فراوانی ۲۵ تا ۳۰ درصد هستند. ابعاد کانی‌های مزبور کمتر از یک میلی متر است. در برخی نقاط، بلورهای ریز کانی مافیک در این سنگ‌ها مشاهده می‌شود که کاملاً توسط اپیدوت و اکتینولیت جانشین شده‌اند.

(F). آمفیول‌ها به صورت بلورهای شکل دار تا نیمه‌شکل دار حضور داشته و ابعاد آنها به  $1/5$  میلی‌متر می‌رسد. آمفیول‌ها اغلب از نوع اکتینولیت بوده و از دگرسانی کانی اولیه هورنبلند و گاه پیروکسن حاصل شده‌اند. در برخی بلورهای آثار ماکل نواری و دو تایی در برخی بلورهای آمفیول مشاهده می‌شود. دایک‌های آپلتی دارای بافت میکروگرانولار بوده و متشکل از



شکل ۵. تصاویر میکروسکوپی (نور عبوری پلاریزه متقطع، XPL) از تووده‌های گرانیتوئیدی منطقه علم کندی. A: بلور پلازیوکلاز دارای منطقه‌بندی همراه با کوارترهای ریز بلور در بین پلازیوکلازهای درشت‌بلور در گرانوپوریت‌ها، B: بلورهای درشت اکتینولیت حاصل از دگرسانی آمفیول‌های اولیه و پیروکسن‌ها در گرانوپوریت‌ها، C و D: بلورهای درشت پلازیوکلاز به همراه بلورهای کوچک کلینوپیروکسن و کوارتز در بین آنها در کوارتر دیوریت‌ها، E: بافت پورفیری متشکل از درشت‌بلورهای پلازیوکلاز و هورنبلند در دیوریت پورفیری و F: دگرسانی پلازیوکلازها به اپیدوت در دیوریت پورفیری. علائم اختصاری کانی‌ها از ویتنی و اوونز (Whitney and Evans, 2010) اقتباس شده است. (Act: اکتینولیت، Afs: آلکالی فلدسپار، Cpx: کلینوپیروکسن، Ep: اپیدوت، Hbl: هورنبلند، Pl: کوارتز، Qz: پلازیوکلاز).

**Fig. 5.** Photomicrographs (transmitted light, XPL) of granitoid intrusion in Alamkandi area. A: Zoned plagioclase along with fine-grained quartz between coarse-grained plagioclases in granodiorites, B: Coarse-grained actinolites resulted from alteration of primary hornblendes and pyroxenes in granodiorites, C and D: Coars-grained plagioclase along with fine-grained pyroxene and quartz in quartz diorites, E: Porphyritic texture composed f plagioclase and hornblende phenocrysts in porphyritic diorite, and F: Alteation of plagioclases to epidote in porphyritic diorite. Abbreviations after Whitney and Evans (2010) (Act: Actinolite, Afs: Alkali feldspar, Cpx: clinopyroxene, Ep: Epidote, Hbl: hornblende, Pl: plagioclase, Qz: quartz).

### هستند (شکل E-۶).

کلینوپیروکسن‌ها با درجه‌های مختلف به اکتینولیت و کلسیت دگرسان شده‌اند. اپیدوت به شکل بلورهای کوچک در فضای بین پیروکسن‌ها مشاهده می‌شود. در برخی نمونه‌ها، سرپاتین به شکل رگچه‌های تأخیری قابل مشاهده است (شکل F-۶). کوارتز به صورت بلورهای ریز و درشت هم در فضای بین دیگر کانی‌ها و هم به صورت ادخال در داخل کلینوپیروکسن‌ها حضور دارند. کلسیت در فضای بین دیگر کانی‌ها، به صورت رگچه‌ای و همچنین محصول دگرسانی پیروکسن‌ها مشاهده می‌شود. اپیدوت پیروکسن اسکارن‌ها دارای بافت گرانوبلاستیک بوده و اغلب از کلینوپیروکسن (۴۰ درصد) و اپیدوت (۳۰ درصد) تشکیل شده‌اند. دیگر کانی‌های این سنگ‌ها شامل گارنت، اکتینولیت و کلسیت است. اپیدوت‌ها به صورت بلورهای شکل دار با ابعادی تا ۱/۵ میلی‌متر حضور دارند (شکل G-۶).

کلینوپیروکسن به صورت بلورهای شکل دار و گاه دارای ماکل نواری و دوتایی حضور دارد (شکل H-۶) که با درجه‌های مختلف به کلسیت و اکتینولیت دگرسان شده‌اند. گارنت در برخی نقاط به صورت بلورهای درشت شکل دار تا نیمه‌شکل دار ایزوتروب و آنیزوتروب با فراوانی حدود ۵ درصد مشاهده می‌شود که در درجه‌های مختلف به کلسیت و اپیدوت دگرسانی نشان می‌دهند. اکتینولیت به شکل بلورهای رشته‌ای و همچنین به صورت جانشینی به جای پیروکسن در این سنگ‌ها حضور دارند. کلسیت در فضای بین دیگر کانی‌ها به صورت بلورهای درشت قابل مشاهده است. سرپاتین اسکارن‌ها اغلب مشکل از سرپاتین بوده (بیش از ۹۰ درصد) و بقایابی از الیوین به صورت جزیره‌ای در متن سرپاتین پراکنده هستند (شکل I-۶). در نتیجه دگرسانی الیوین، کانی‌های کدر نیز تشکیل شده است که در متن سرپاتین پراکنده هستند. رگچه‌های کانی کدر این سنگ‌ها را قطع کرده (شکل I-۶) که بررسی‌های کانه‌نگاری آنها را از نوع پیریت و گاه در همراهی با کالکوپیریت نشان‌داده است.

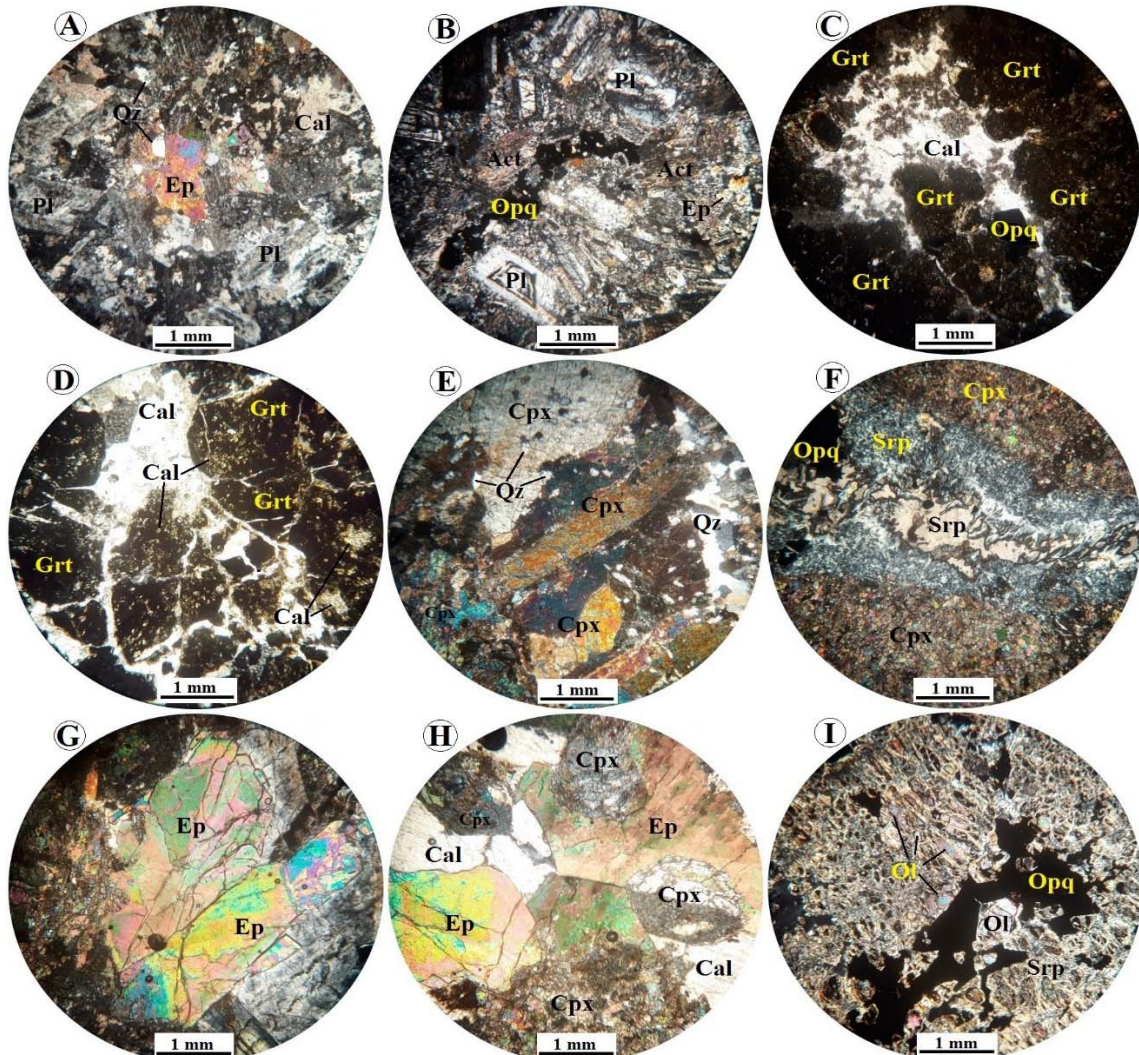
### هاله دگرگونی مجاورتی

بررسی سنگ‌شناختی نمونه‌های برداشت شده از هاله دگرگونی مجاورتی اطراف توده گرانیتوئیدی علم کنندی بیانگر آن است که این سنگ‌ها از نوع اسکارنی بوده و دو پهنه اسکارن درونی و اسکارن بیرونی در آن قابل تشخیص است. پهنه اسکارن بیرونی، پهنه اصلی اسکارنی این منطقه بوده و شامل زیرپهنه‌های گارنت اسکارن، پیروکسن اسکارن، اپیدوت پیروکسن اسکارن، سرپاتین اسکارن و اسکارن کانه‌دار است.

اسکارن درونی دارای بافت گرانولار بوده و با حضور کانی‌های اپیدوت، اکتینولیت و کانی‌های کدر ثانویه (اغلب پیریت) در همراهی با کانی‌های اولیه سنگ نظری پلاژیوکلاز، کوارتز و آلکالی فلدسپار مشخص می‌شوند (شکل A-۶ و B). فراوانی اپیدوت، اکتینولیت و کانی‌های کدر در این سنگ‌ها متغیر بوده و با فاصله گرفتن از مرز تماس توده گرانیتوئیدی، به سمت داخل توده، از مقدار آنها کاسته می‌شود. گارنت اسکارن‌ها دارای بافت گرانوبلاستیک بوده و مشکل از کانی‌های گارنت، کلسیت، کوارتز، اپیدوت و کانی کدر هستند. گارنت اغلب به صورت بلورهای ایزوتروب در این سنگ‌ها حضور دارد (شکل C-۶ و D).

برخی بلورها دارای منطقه‌بندی ظریف در بخش‌های حاشیه‌ای هستند. ابعاد بلورهای درشت گارنت گاه تا ۳ میلی‌متر می‌رسد. گارنت‌ها دگرسانی به کلسیت و اپیدوت را نشان می‌دهند. گارنت، کوارتز، آلبیت و کانی‌های کدر در فضای بین گارنت‌ها به صورت بلورهای بی‌شکل حضور دارند. پیروکسن هورنفلس‌ها دارای بافت‌های گرانوبلاستیک بوده و کانی‌شناسی آنها شامل کلینوپیروکسن، اپیدوت، کوارتز، کلسیت، سرپاتین و کانی‌های کدر است. در برخی نمونه‌ها، مقدار محدودی گارنت نیز مشاهده می‌شود. پیروکسن‌ها به صورت بلورهای شکل دار تا نیمه‌شکل دار حضور داشته و از نوع کلینوپیروکسن هستند (شکل E-۶).

بلورهای درشت کلینوپیروکسن حاوی ادخال‌های متعدد کوارتز



شکل ۶. تصاویر میکروسکوپی (نور عبوری پلاریزه متقاطع، XPL) از زیرپهنه های اسکارنی در منطقه علم کندی. A: اپیدوت و کلسیت داخل گرانودیوریت در زیرپهنه اسکارن درونی، B: کانی کدر به حالت رگچه ای به همراه اکتینولیت و اپیدوت در زیرپهنه اسکارن درونی، C: گارنت های آیزوتروپ با حاشیه باریک آنیزوتروپ در زیرپهنه گارنت اسکارن، D: گارنت های دگر سان شده به کلسیت و اپیدوت در زیرپهنه گارنت اسکارن، E: بلورهای درشت کلینوپیروکسن حاوی ادخال های کوارتز در زیرپهنه پیروکسن اسکارن، F: رگچه سرپاتین که پیروکسن های ریزلولور را در زیرپهنه پیروکسن اسکارن قطع کرده است، G: بلورهای درشت اپیدوت در زیرپهنه اپیدوت پیروکسن اسکارن، H: بلورهای شکل دار کلینوپیروکسن در همراهی پیروکسن اسکارن اختصاری کانی ها از ویتنی و اوائز (Whitney and Evans, 2010) اقتباس شده است. (Act: اکتینولیت، Cal: کلسیت، Cpx: کلینوپیروکسن، Grt: گارنت، Opq: اپیدوت، Ol: کانی کدر، Pl: پلازیو کلاز، Qz: کوارتز، Srp: سرپاتین).

**Fig. 6.** Photomicrographs (transmitted light, XPL) of skarn sub-zones in the Alamkandi area. A: Epidote and calcite within granodiorite in endoskarn sub-zone, B: Opaque mineral veinlet along with actinolite and epidote in endoskarn sub-zone, C: Isotropic garnets with narrow anisotropic margins in garnet skarn sub-zone, D: Garnets replaced by calcite and epidote in garnet skarn sub-zone, E: Coars-grained clinopyroxenes with quartz inclusions in pyroxene skarn sub-zone, F: Serpentinite veinlet cross cutting the fine-grained pyroxenes in pyroxene skarn sub-zone, G: Coars-grained epidote crystals in eidote pyroxene skarn sub-zone, H: Idiomorphic clinopyroxene crystals along with epidote and clacite in epidote pyroxene skarn sub-zone, and I: Olivine crystals as island within serpentinite along with opaque mineral veinlet in serentine skarn sub-zone. Abbreviations after Whitney and Evans (2010) (Act: actinolite, Cal: calcite, Cpx: clinopyroxene, Ep: epidote, Grt: garnet, Opq: opaque mineral, Ol: olivine, Pl: plagioclase, Qz: quartz, Srp: serpentine).

تولئیتی از کالک‌آلکالن، از نمودار مثلثی (Irvine and AFM Baragar, 1971) استفاده شده است. بر طبق این نمودار، تمامی نمونه‌ها در محدوده کالک‌آلکالن واقع می‌شوند (شکل ۷-B). Hastie et al., (2007)، همه نمونه‌های مربوط به توده نفوذی در محدوده کالک‌آلکالن تا کالک‌آلکالن پتانسیم بالا قرار می‌گیرند (شکل Shand, 2007). بر اساس نمودار A/CNK در مقابل A/NK (Villaseca et al., 1998)، تمامی نمونه‌های مربوط به توده گرانیتوئیدی در قلمرو متا‌آلومینوس قرار می‌گیرند (شکل D-۷ و E). برای تمایز گرانیتوئیدهای نوع I و S از نمودار Na<sub>2</sub>O در مقابل K<sub>2</sub>O (Chappell and White, 2001) استفاده شد که بر این اساس، همه نمونه‌ها در قلمرو گرانیتوئیدهای نوع I واقع می‌شوند (شکل F-۷).

**زمین‌شیمی**  
چنان‌که قبلاً اشاره شد، تعداد ۷ نمونه از توده گرانیتوئیدی بر اساس حداقل دگرسانی و تعداد ۸ نمونه از زیرپنهنهای مختلف اسکارنی برای تجزیه سنگ کل به روش‌های دستگاهی XRF (عناصر کمیاب و اکسیدهای عناصر اصلی) و ICP-MS (عناصر کمیاب و کمیاب خاکی) در شرکت زرآرما تجزیه شد. نتایج تجزیه‌های شیمیایی مذبور در جدول‌های ۱ و ۲ آمده است.

نمودارهای متعددی برای نام‌گذاری سنگ‌های نفوذی بر اساس ترکیب شیمیایی آنها ارائه شده است که در نمودار SiO<sub>2</sub> در مقابل O (Middlemost, 1994) Na<sub>2</sub>O+K<sub>2</sub>O، نمونه‌های گرانیتوئیدی، مربوط به توده نفوذی علم کنده در محدوده گرانیت، گرانودیوریت، دیوریت و گابرو‌دیوریت قرار می‌گیرند (شکل A-۷). نمونه گرانیتی، عبارت از دایک آپلتی است. برای تعیین سری ماگمایی توده گرانیتوئیدی علم کنده و تفکیک سری

**جدول ۱.** نتایج تجزیه‌های شیمیایی عناصر اصلی، کمیاب و کمیاب خاکی برای نمونه‌های توده گرانیتوئیدی علم کنده. عناصر اصلی بر حسب درصد وزنی (wt.%) و عناصر کمیاب و کمیاب خاکی بر حسب گرم در تن (ppm) هستند.

**Table 1.** Geochemical data of major, trace and rare earth elements for the Alamkandi granitoid samples. Major elements are in wt.% and trace and rare earth elements in ppm.

	AK-1	AK-3	AK-24	AK-25	AK-26	AK-27	AK-28
DL	qd	qd	di	Ap	qd	qd	gd
<b>SiO<sub>2</sub></b>	0.1	57.87	57.88	55.52	73.65	57.73	59.98
<b>TiO<sub>2</sub></b>	0.1	0.84	0.86	0.75	0.20	1.01	1.00
<b>Al<sub>2</sub>O<sub>3</sub></b>	0.1	16.50	16.62	16.03	13.47	17.97	17.33
<b>FeO<sub>t</sub></b>	0.1	5.24	4.96	8.27	0.53	1.40	1.10
<b>MnO</b>	0.1	0.05	0.05	0.11	0.05	0.05	0.05
<b>MgO</b>	0.1	3.83	3.81	4.49	1.76	4.55	4.78
<b>CaO</b>	0.1	7.44	6.22	8.32	1.91	11.49	9.71
<b>Na<sub>2</sub>O</b>	0.1	4.75	5.23	3.11	5.64	3.53	4.14
<b>K<sub>2</sub>O</b>	0.1	0.41	0.42	1.66	0.31	0.22	0.19
<b>P<sub>2</sub>O<sub>5</sub></b>	0.1	0.16	0.15	0.19	0.05	0.20	0.22
<b>LOI</b>	0.1	2.87	3.74	1.46	2.46	1.41	1.52
<b>Total</b>	----	99.96	99.94	99.92	100.03	100.01	100.02

Ap: aplite; gd: granodiorite; qd: quartz diorite; di: diorite

**داده‌های جدول ۱.** نتایج تجزیه‌های شیمیایی عناصر اصلی، کمیاب و کمیاب خاکی برای نمونه‌های توده گرانیتوئیدی علم کندی. عناصر اصلی بر حسب درصد وزنی (wt.%) و عناصر کمیاب و کمیاب خاکی بر حسب گرم در تن (ppm) هستند.

**Table 1 (Continued).** Geochemical data of major, trace and rare earth elements for the Alamkandi granitoid samples. Major elements are in wt.% and trace and rare earth elements in ppm.

		AK-1	AK-3	AK-24	AK-25	AK-26	AK-27	AK-28
	DL	qd	qd	di	Ap	qd	qd	gd
<b>As</b>	0.1	14.1	15.3	12.5	6.3	17.2	11.5	11.8
<b>Ba</b>	1	339	342	596	31	392	174	242
<b>Ce</b>	0.5	49	36	54	10	45	44	108
<b>Co</b>	1	8	7.1	18.3	1	2.2	1.6	3.6
<b>Cr</b>	1	17	16	24	7	10	7	10
<b>Cs</b>	0.5	26.3	23.6	3.2	0.5	2.7	0.5	1.3
<b>Cu</b>	1	15	5	19	6	6	7	5
<b>Dy</b>	0.02	4.45	3.86	4.5	1.6	4.19	4.39	7.87
<b>Er</b>	0.05	2.52	2.21	2.85	1.02	2.65	2.62	4.83
<b>Eu</b>	0.1	1.09	0.94	1.35	0.12	1.08	1.13	1.76
<b>Gd</b>	0.05	4.28	3.53	4.31	1.2	3.56	4.1	7.97
<b>Hf</b>	0.5	2.23	1.99	0.54	0.5	1.29	0.76	0.81
<b>La</b>	1	21	12	21	3	9	14	42
<b>Lu</b>	0.1	0.27	0.23	0.42	0.11	0.37	0.34	0.65
<b>Nb</b>	1	9.8	9.5	8.8	31.2	8.4	8	11.1
<b>Nd</b>	0.5	20.5	15.1	21.4	3.1	15.1	20.7	54.2
<b>Ni</b>	1	12	17	7	6	4	3	7
<b>Pb</b>	1	27	3	8	2	3	24	3
<b>Pr</b>	0.05	5.08	3.49	5.49	0.74	3.55	4.99	14.36
<b>Rb</b>	1	8	12	72	11	5	1	1
<b>Sc</b>	0.5	20.4	21.9	21.9	1.9	28.3	23.2	16.5
<b>Sm</b>	0.02	4.65	3.72	4.57	0.66	3.61	4.39	9.61
<b>Sr</b>	1	407.4	373.7	301.5	237	426.5	467.8	295.5
<b>Ta</b>	0.1	0.97	0.96	0.98	2.81	1.14	0.83	1.18
<b>Tb</b>	0.1	0.7	0.61	0.7	0.21	0.63	0.69	1.28
<b>Th</b>	0.1	6.16	4.85	7.55	34.32	8.5	8.83	14.6
<b>Tm</b>	0.1	0.32	0.29	0.4	0.15	0.36	0.36	0.64
<b>U</b>	0.1	4.1	1.1	1.8	2.84	1.4	1.5	2
<b>V</b>	1	167	151	140	16	167	148	116
<b>Y</b>	0.5	21	18	22.1	8.5	19.4	20.4	34.8
<b>Yb</b>	0.05	1.9	1.7	2.6	0.8	2.3	2.2	4
<b>Zn</b>	1	33	23	50	8	11	14	10
<b>Zr</b>	5	62	48	14	6	35	20	16

Ap: aplite; gd: granodiorite; qd: quartz diorite; di: diorite

**جدول ۲.** نتایج تجزیه‌های شیمیایی عناصر اصلی، کمیاب و کمیاب خاکی برای نمونه‌های زیرپهنه‌های اسکارنی علم کندی. عناصر اصلی بر حسب درصد وزنی (wt.%) و عناصر کمیاب و کمیاب خاکی بر حسب گرم در تن (ppm) هستند.

**Table 2.** Geochemical data of major, trace and rare earth elements for the Alamkandi skarn sub-zones. Major elements are in wt.% and trace and rare earth elements in ppm.

	AK-10-1	AK-10-2	AK-2	AK-8	AK-4	AK-21	AK-30	AK-6
	Mag	Py	Grt Sk	Ep-Px Sk	Px Sk	Srp Sk	Px Sk	Mb
<b>SiO<sub>2</sub></b>	---	---	28.72	42.49	59.00	42.44	52.97	0.29
<b>TiO<sub>2</sub></b>	---	---	0.05	0.44	0.12	0.11	0.62	0.05
<b>Al<sub>2</sub>O<sub>3</sub></b>	---	---	1.23	12.62	2.77	1.51	1.74	0.07
<b>FeOt</b>	---	---	20.82	9.24	11.77	4.74	1.97	0.09
<b>MnO</b>	---	---	0.25	0.06	0.39	0.12	0.05	0.05
<b>MgO</b>	---	---	0.20	8.12	7.33	33.03	26.63	0.60
<b>CaO</b>	---	---	33.66	22.70	17.64	4.49	6.35	55.36
<b>Na<sub>2</sub>O</b>	---	---	0.05	0.08	0.20	0.14	0.05	0.05
<b>K<sub>2</sub>O</b>	---	---	0.05	0.05	0.05	0.05	0.05	0.05
<b>P<sub>2</sub>O<sub>5</sub></b>	---	---	0.05	0.23	0.09	0.05	0.05	0.05
<b>SO<sub>3</sub></b>	---	---	0.70	0.07	0.08	0.86	0.05	0.06
<b>LOI</b>	---	---	14.36	3.43	0.60	12.51	9.54	43.49
<b>Total</b>	---	---	100.19	99.58	100.09	100.1	100.12	100.2
<b>Ag</b>	0.6	0.3	0.1	0.1	0.1	0.1	0.1	0.1
<b>As</b>	4.8	11.5	100	16.8	12.6	80.8	3.9	4.3
<b>Cd</b>	0.1	0.4	0.6	0.1	0.1	0.3	0.1	0.1
<b>Ce</b>	3	2	15	56	25	17	31	8
<b>Co</b>	25.6	388.8	16.9	4.1	12.4	12.8	14.8	1
<b>Cr</b>	30	15	8	9	17	12	242	3
<b>Cs</b>	0.5	0.5	0.5	0.05	0.5	0.05	0.5	0.5
<b>Cu</b>	132	266	301	5	9	34	4	4
<b>Dy</b>	0.54	0.6	2.44	5.92	4.25	10.4	11.1	0.65
<b>Er</b>	0.18	0.21	1.65	3.29	2.02	8.35	7.54	0.27
<b>Eu</b>	0.1	0.1	2.72	0.9	1.12	0.19	0.8	0.1
<b>Gd</b>	0.56	0.62	2.70	6.09	5.13	5.91	9.54	0.64
<b>Hf</b>	0.5	0.5	0.5	1.87	0.5	0.57	2.57	0.5

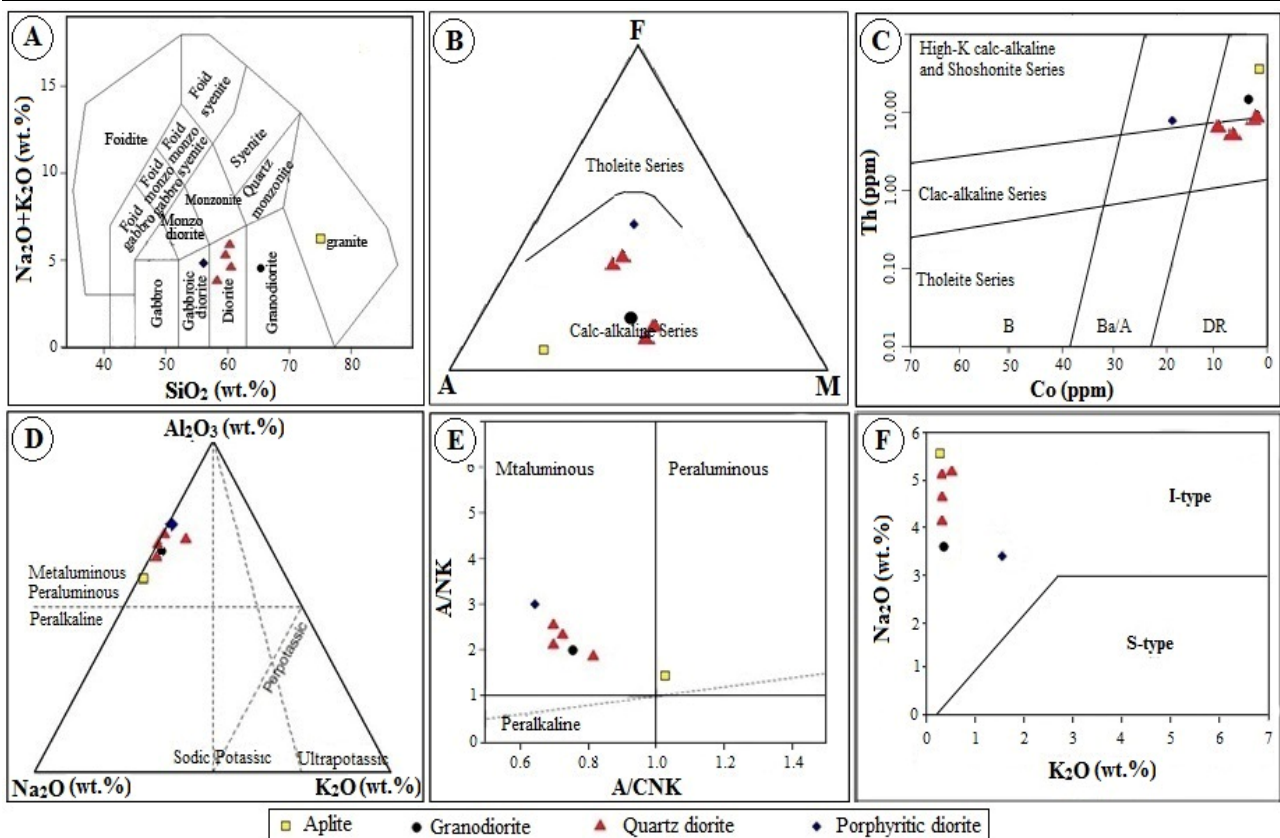
Grt Sk: garnet skarn; Ep-Px Sk: epidote pyroxene skarn, Px Sk: pyroxene skarn, Mb: marble, Mag: magnetite, Py: pyrite

**ادامه جدول ۲.** نتایج تجزیه‌های شیمیابی عناصر اصلی، کمیاب و کمیاب خاکی برای نمونه‌های زیرپهنه‌های اسکارنی علم کندی. عناصر اصلی بر حسب درصد وزنی (wt.%) و عناصر کمیاب و کمیاب خاکی بر حسب گرم در تن (ppm) هستند.

**Table 2 (Continued).** Geochemical data of major, trace and rare earth elements for the Alamkandi skarn sub-zones. Major elements are in wt.% and trace and rare earth elements in ppm.

	AK-10-1 Mag	AK-10-2 Py	AK-2 Grt Sk	AK-8 Ep-Px Sk	AK-4 Px Sk	AK-21 Srp Sk	AK-30 Px Sk	AK-6 Mb
<b>La</b>	1	1	6	21	32	4	7	2
<b>Lu</b>	0.1	0.1	0.31	0.33	0.21	1.18	1.23	0.1
<b>Nb</b>	1.7	1	1.5	5.5	2.6	2.1	1	1
<b>Nd</b>	0.8	1.2	16.5	31	31	10.5	36.2	1.4
<b>Ni</b>	15	144	15	30	27	4	27	1
<b>Pb</b>	29	204	3	2	5	12	4	1
<b>Pr</b>	0.11	0.18	2.96	7.24	7.31	2.03	6.17	0.31
<b>Rb</b>	1	1	1	1	1	1	1	1
<b>Sb</b>	1.6	0.7	1.4	12.7	5.1	0.6	2	0.5
<b>Sc</b>	0.8	0.5	1.2	10.4	4.7	2.9	31.8	1.3
<b>Sm</b>	0.12	0.17	3.32	6.85	5.82	4	10.96	0.19
<b>Sn</b>	6.1	2	1.5	7	1.9	5.6	4.1	1
<b>Sr</b>	5.1	9.7	20.2	628.7	84.1	9.8	19.6	95
<b>Ta</b>	0.26	0.27	0.29	0.7	0.4	0.39	0.32	0.27
<b>Tb</b>	0.1	0.1	0.38	0.99	0.77	1.38	1.74	0.1
<b>Th</b>	0.1	0.1	0.1	2.62	2.52	0.95	1.7	0.1
<b>Tm</b>	0.1	0.1	0.26	0.41	0.25	1.2	1.11	0.1
<b>U</b>	0.2	0.1	2	3.9	2.2	3.5	0.3	0.2
<b>V</b>	48	13	52	71	33	16	283	12
<b>Y</b>	1.7	1.8	15.1	30.9	21.3	56.1	49.2	3
<b>Yb</b>	0.1	0.1	1.8	2.3	1.3	7.4	7.1	0.2
<b>Zn</b>	101	426	21	16	56	160	7	3
<b>Zr</b>	18	13	7	65	7	13	50	5

Grt Sk: garnet skarn; Ep-Px Sk: epidote pyroxene skarn, Px Sk: pyroxene skarn, Mb: marble, Mag: magnetite, Py: pyrite



شکل ۷. موقعیت نمونه‌های گرانیتوئید علم کندی بر روی A: نمودار مثبتی  $\text{SiO}_2$  در مقابل  $\text{Na}_2\text{O} + \text{K}_2\text{O}$  (Middlemost, 1994), B: نمودار مثبتی  $\text{Al}_2\text{O}_3 - \text{Na}_2\text{O} - \text{K}_2\text{O}$  در مقابل  $\text{Th}$  (Irvine and Baragar, 1971), C: نمودار مثبتی  $\text{Co}$  در مقابل  $\text{Th}$  (Hastie et al., 2007), D: نمودار مثبتی  $\text{Al}_2\text{O}_3 - \text{Na}_2\text{O} - \text{K}_2\text{O}$  در مقابل  $\text{Co}$  (Irvine and Baragar, 1971), E: نمودار  $\text{A}/\text{NK}$  در مقابل  $\text{A}/\text{CNK}$  (Shand, 1943) و F: نمودار  $\text{K}_2\text{O}$  در مقابل  $\text{Na}_2\text{O}$  (Chappell and White, 2001).

**Fig. 7.** Location of Alamkandi granitoid samples on the A:  $\text{SiO}_2$  vs.  $\text{Na}_2\text{O} + \text{K}_2\text{O}$  diagram (Middlemost, 1994), B: AFM triangular diagram (Irvine and Baragar, 1971), C:  $\text{Co}$  vs.  $\text{Th}$  diagram (Hastie et al., 2007), D:  $\text{Al}_2\text{O}_3 - \text{Na}_2\text{O} - \text{K}_2\text{O}$  triangular diagram (Villaseca et al., 1998), E:  $\text{A}/\text{NK}$  vs.  $\text{A}/\text{CNK}$  diagram (Shand, 1943), and F:  $\text{K}_2\text{O}$  vs.  $\text{Na}_2\text{O}$  diagram (Chappell and White, 2001)

آپلیت‌ها با دیگر نمونه‌های گرانیتوئیدی باشد. آنومالی منفی Rb و K در نمونه‌های گرانودیبوریتی و کوارتزدیبوریتی (شکل ۸) می‌تواند در ارتباط با جابه‌جایی این عناصر در جبهه اسکارنی باشد. غنی شدگی از LREE و LILE در همراهی با آنومالی منفی عناصر HFSE مانند Ta و Nb از ویژگی‌های بارز کمان‌های ماگمایی و ماگماتیسم مرتبط با فرورانش است (Rollinson, 1993; Wilson, 1989).

به اعتقاد کاستر و هارمز (Kuster and Harms, 1998) غنی شدگی از LREE و LILE نشان‌دهنده نقش سیالات آزادشده از لیتوسفر فروزانده در غنی‌سازی این عناصر در ماگما

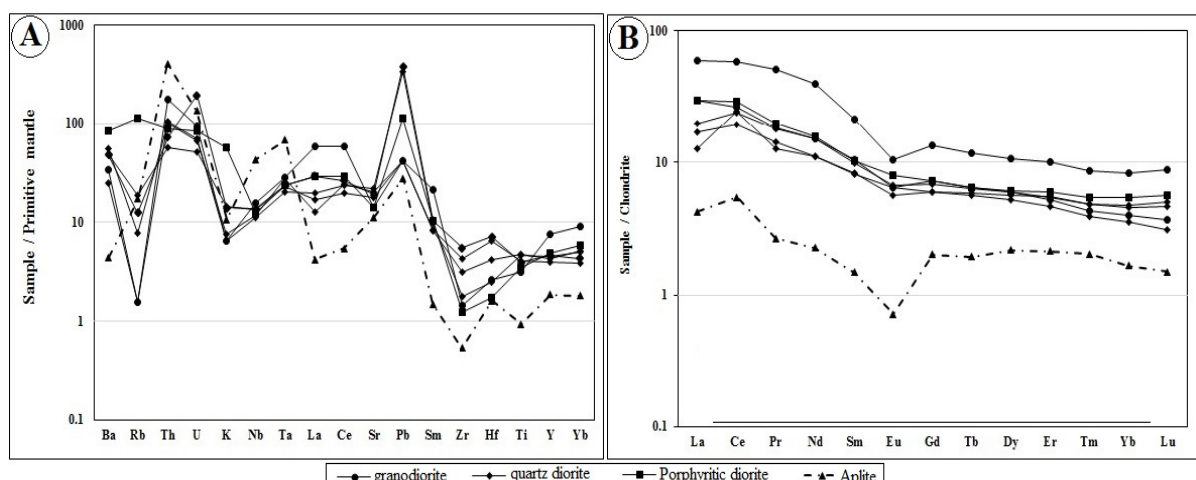
در نمودار عنکبوتی بهنجارشده به گوشه اولیه (McDonough and Sun, 1995) آنومالی منفی مشخص تا ضعیف در عناصر LILE و غنی شدگی عناصر HFSE (Pb, Ce, La, Ba, U, Th) LREE (Ti, Ta, Nb) و غنی شدگی عناصر (Pb, Ce, La, Ba, U, Th) LREE (Ti, Ta, Nb) مشاهده می‌شود (شکل ۸). ویژگی این نمودار، غنی شدگی و آنومالی گرانودیبوریتی، کوارتزدیبوریتی و دیبوریتی مشاهده می‌شود (شکل ۸). نمونه آپلیتی الگوی متفاوتی با دیگر نمونه‌ها (آنومالی مثبت Nb و Ta و تهی شدگی در عناصر LREE و آنومالی مثبت بسیار ضعیف Pb) نشان می‌دهد (شکل ۸). این موضوع می‌تواند نشان‌دهنده عدم ارتباط زایشی بین

عناصر کمیاب خاکی سنگین در ارتباط با حضور گارنت در ناحیه ذوب باشد (Wilson, 1989; Wright and McCurry, 1997). آنومالی منفی ضعیف Eu در نمونه‌های مورد بررسی (شکل ۸) را می‌توان در ارتباط با تفریق پلازموکلاز در نظر گرفت. نمونه آپلیتی الگوی به نسبت متمایزی را با غنی‌شدگی مشخص در La و Ce و همراه با آنومالی منفی مشخص در Eu نشان می‌دهد (شکل ۸)، به غیر از La و Ce می‌توان یک الگوی مسطح با آنومالی منفی Eu را در این سنگ معرفی کرد. الگوی متفاوت عناصر کمیاب خاکی در آپلیت با دیگر نمونه‌های گرانیتوئیدی مورد بررسی می‌تواند بیانگر عدم ارتباط این سنگ‌ها با یکدیگر باشد.

به طور کلی می‌توان گفت که ماغماهای اولیه گرانیتوئیدهای منطقه مورد بررسی (به استثنای آپلیت‌ها) در یک محیط فرورانشی و از یک گوشته متاسوماتیسم شده به وجود آمده است. از شواهد آلایش پوسته‌ای یا مشارکت پوسته و مواد پوسته‌ای در تشکیل این سنگ‌ها می‌توان به آنومالی مثبت Pb (شکل ۸) اشاره کرد.

است. علاوه بر این، غنی‌شدگی از LILE می‌تواند نتیجه درجه پایین ذوب‌بخشی از منشأ گوشه‌ای، تحرک عناصر طی دگرسانی، نقش گوشته متاسوماتیسم شده، آلودگی به وسیله مواد پوسته‌ای و یا دخالت پوسته در تولید سنگ‌های موردنظر باشد (Rollinson, 1993). آنومالی مثبت Pb در نمونه‌های مورد بررسی را می‌توان در ارتباط با متاسوماتیسم گوه گوشه‌ای توسط سیالات ناشی از پوسته اقیانوسی فرورونده در نظر گرفت. همراه بودن آنومالی مثبت Pb و آنومالی منفی Nb، نشان‌دهنده ماغماهای کمانی و ماغماهای متأثر از پوسته قاره‌ای است (Hofmann, 1988).

در الگوی عناصر کمیاب خاکی بهنجارشده به کندریت (McDonough and Sun, 1995)، الگوی مشابه در نمونه‌های گرانوڈیوریتی، کوارتزدیوریتی و دیوریتی مورد بررسی مشاهده می‌شود (شکل ۸). نمونه‌های مورد بررسی الگویی غنی از عناصر HREE نسبت به Eu نشان متوسط LREE/HREE و آنومالی منفی ضعیف REE نشان می‌دهند (شکل ۸). غنی‌شدگی بالای عناصر کمیاب خاکی سبک می‌تواند ناشی از درجه پایین ذوب‌بخشی و پایین بودن

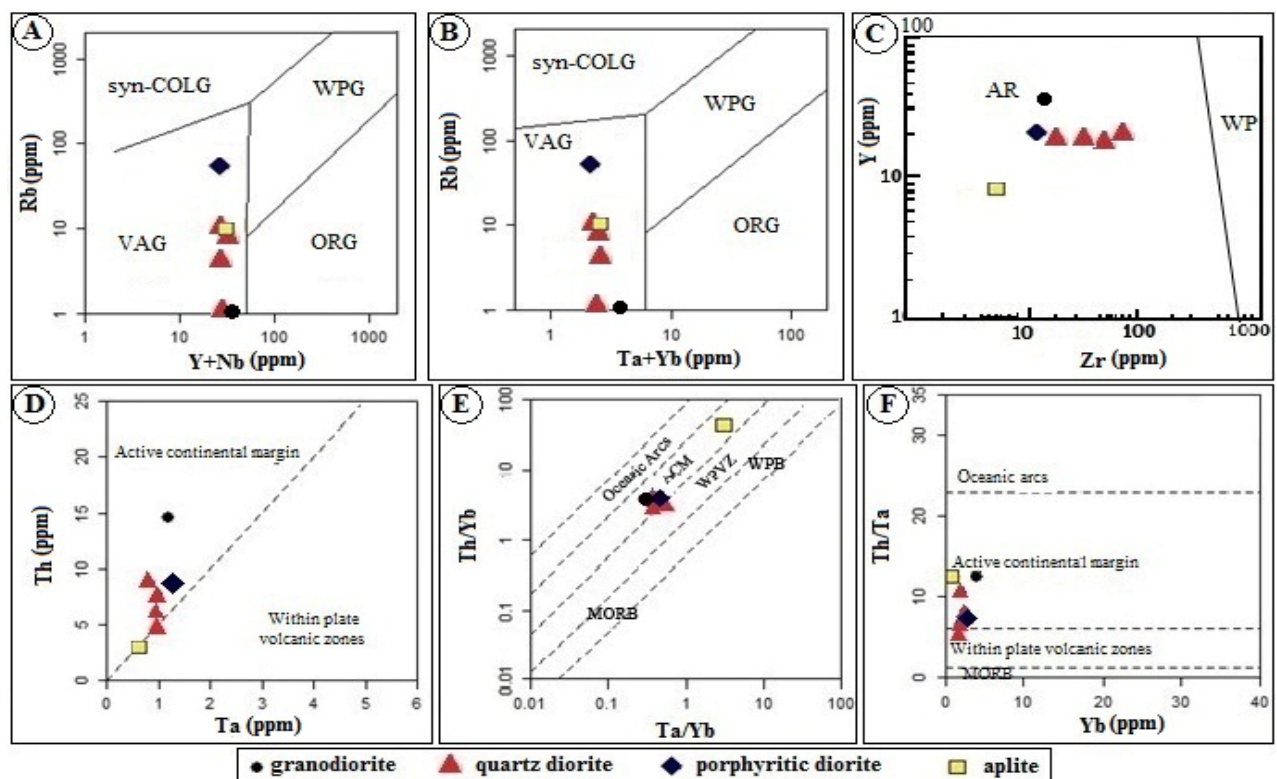


شکل ۸. A: الگوی عناصر کمیاب بهنجارشده به گوشته اولیه (McDonough and Sun, 1995) برای توده گرانیتوئیدی علم کندی و B: الگوی عناصر کمیاب بهنجارشده به کندریت (McDonough and Sun, 1995) برای توده گرانیتوئیدی علم کندی

**Fig. 8.** A: Primitive mantle-normalized (McDonough and Sun, 1995) trace element pattern for Alamkandi granitoid, and B: Chondrite-normalized (McDonough and Sun, 1995) REE pattern for Alamkandi granitoid

(شکل ۹-C). نمودارهای شندل و گورتن (Schandl and Gorton, 2002)، بر اساس زمین‌شیمی عناصر کمیاب و برای تفکیک محیط زمین‌ساختی سنگ‌های آذرین ارائه شده‌اند. بر اساس نمودار Th در مقابل Ta (Schandl and Gorton, 2002) نیز نمونه‌های مورد بررسی مرتبه با محیط کمان مگماگی هستند (شکل ۹-D). در نمودارهای Th/Yb در مقابل Yb (Schandl and Gorton, 2002) نیز نمونه‌های مورد بررسی در محدوده سنگ‌های آذرین حاشیه فعال قاره‌ای واقع می‌شوند (شکل ۹-E و F).

نمودارهای Rb در مقابل Rb+Yb و Rb در مقابل Ta+Yb (Pearce et al., 1984) برای تمایز محیط‌های مختلف تشکیل گرانیتوئیدها (Post- و Syn-COLG، WPG، ORG، VAG) ارائه شده است. بر اساس این نمودارها، تمامی نمونه‌ها در قلمرو گرانیتوئیدهای کمان مگماگی واقع می‌شوند (شکل ۹-B). نمودار Zr در برابر Y (Müller and Groves, 1997) برای تفکیک گرانیتوئیدهای داخل صفحه‌ای از گرانیتوئیدهای مرتبه با کمان ارائه شده است. ترسیم نمونه‌های مورد بررسی بر روی این نمودار نشان‌دهنده این است که تمامی نمونه‌ها در قلمرو گرانیتوئیدهای مرتبه با کمان واقع می‌شوند.



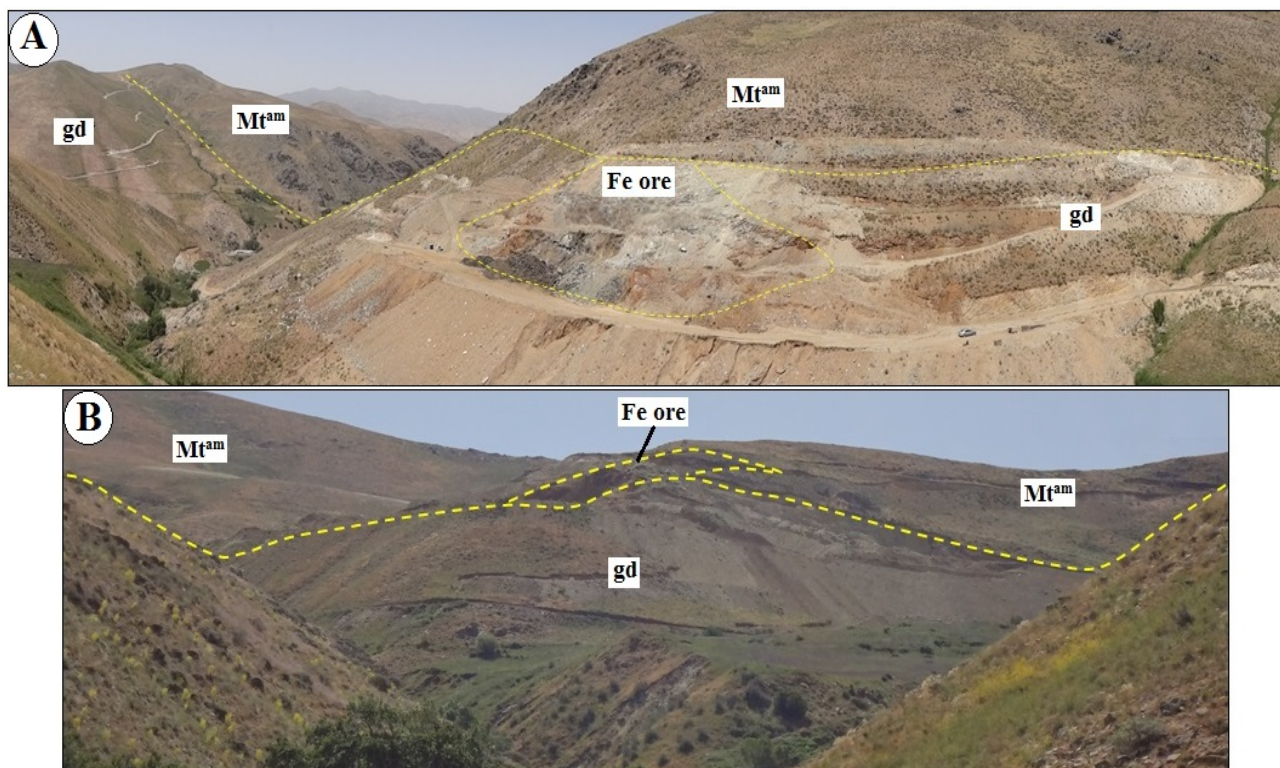
شکل ۹. موقعیت نمونه‌های گرانیتوئید علم کنندی بر روی A: نمودار Rb در مقابل Rb+Yb (Pearce et al., 1984)، B: نمودار Rb در مقابل Ta+Yb (Schandl and Gorton, 2002)، C: نمودار Zr در مقابل Y (Müller and Groves, 1997)، D: نمودار Ta در مقابل Th (Müller and Groves, 1997)، E: نمودار Th/Yb در مقابل Ta/Yb (Schandl and Gorton, 2002)، F: نمودار Yb در مقابل Th/Ta (Schandl and Gorton, 2002).

**Fig. 9.** Location of Alamkandi granitoid samples on A: Rb vs. Y+Nb diagram (Pearce et al., 1984), B: Rb vs. Ta+Yb diagram (Pearce et al., 1984), C: Zr vs. Y diagram (Müller and Groves, 1997), D: Ta vs. Th diagram (Schandl and Gorton, 2002), E: Th/Yb vs. Ta/Yb diagram (Schandl and Gorton, 2002), and F: Yb vs. Th/Ta diagram (Schandl and Gorton, 2002).

### کانی‌سازی

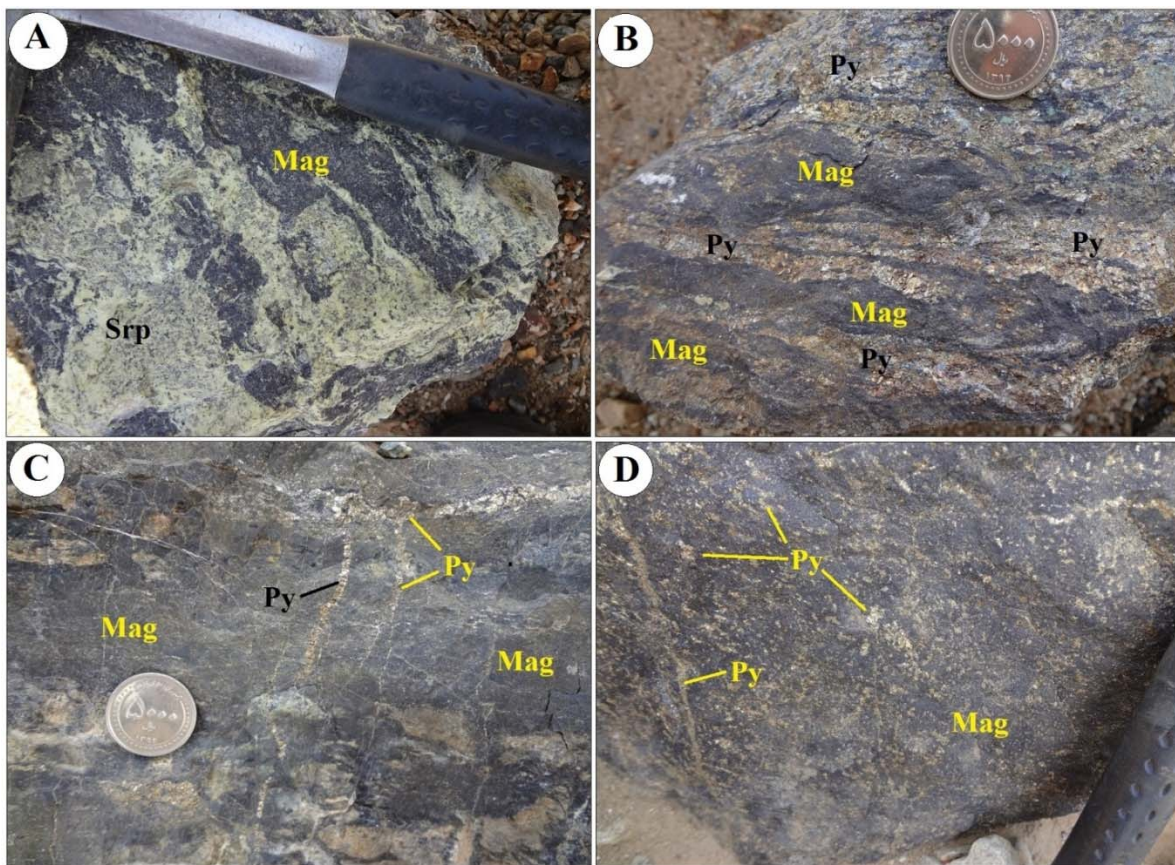
بالایی از دگرسانی بروزنزاد به صورت گوتیتی شدن است. بررسی‌های صحراوی بیانگر آن است که در عدسی شمالی، کانه‌زایی مگنتیت و کانی‌های سولفیدی اغلب در همراهی با سرپانتین و اکتینولیت هستند (شکل ۱۱-A)؛ در حالی که در عدسی جنوبی کانه‌زایی مگنتیت با مقادیر کمتری کانی سولفیدی همراهی می‌شود و سرپانتین حضور ندارد. همچنین، بر اساس بررسی‌های صحراوی و میکروسکوپی، گارنت تنها در همراهی با کانه‌زایی عدسی جنوبی مشاهده می‌شود. کانه‌زایی سولفیدی به صورت نواری (شکل ۱۱-B)، رگه-رگچه‌ای (شکل ۱۱-C) و همچنین دانه‌پراکنده (شکل ۱۱-D) در متن مگنتیت مشاهده می‌شود. قطع شدن مگنتیت توسط رگچه‌های پیریت بیانگر تشکیل فاز سولفیدی بعد از مگنتیت است.

در نتیجه نفوذ توده گرانیتوئیدی علم کندی به داخل واحدهای کربناته موجود در واحدهای دگرگونی پالئوزوئیک، هاله اسکارنی و کانه‌زایی آهن در دو نقطه مجزا تشکیل شده است (شکل ۳). رخمنون اصلی کانه‌زایی در حاشیه شمال خاوری توده گرانوویوریتی (عدسی شمالی) و رخمنون دوم در حاشیه جنوب خاوری توده گرانوویوریتی (عدسی جنوبی) واقع شده است (شکل ۱۰-A و B). ضخامت کانه‌زایی آهن در عدسی شمالی، حدود ۵۰ متر بوده و طول آن به حدود ۱۵۰ متر می‌رسد. این عدسی اغلب مگنتیتی با تمرکزهایی از کانی‌سازی سولفیدی (اغلب پیریت) به صورت رگه-رگچه‌ای و جانشینی است. عدسی جنوبی دارای ابعاد کوچک‌تر (ضخامت حدود ۲۰ متر و طول حدود ۱۰۰ متر) بوده و از نوع مگنتیتی با درجه



شکل ۱۰. تصاویری از رخمنون‌های کانه‌زایی آهن در مرز توده گرانوویوریتی (gd) و واحدهای دگرگونی ناحیه‌ای ( $Mt^{am}$ ) در منطقه علم کندی. A: رخمنون شمالی (دید به سمت شمال‌باخته) و B: رخمنون جنوبی (دید به سمت جنوب‌خاور).

**Fig. 10.** Photos from the Fe mineralization outcrops in contact of granodiorite (gd) and regionally metamorphosed units ( $Mt^{am}$ ) in the Alamkandi area. A: Northern outcrop (view to the northwest), and B: Southern outcrop (view to the southeast).



شکل ۱۱. نماهای نزدیک از کانه‌زایی در منطقه علم کندی. A: مگنتیت در متنی از سرپانتین، B: نوارهای پیریت در تناوب با مگنتیت، C: رگچه‌های پیریت قطع کننده توده‌ای و D: پیریت به صورت دانه پراکنده در متن مگنتیت و همچنین رگچه پیریت قطع کننده مگنتیت. علائم اختصاری کانی‌ها از ویتنی و اوائز (Whitney and Evans, 2010) اقتباس شده است (Mag: مگنتیت، Py: پیریت، Srp: سرپانتین).

**Fig. 11.** Close views of mineralization in Alamkabdi area. A: magnetite within serpentine matrix, B: Pyrite bands in alternation with magnetite, C: Pyrite veinlets crosscutting massive magnetite, and D: Disseminated pyrite within magnetite along with pyrite veinlet crosscutting magnetite. Abbreviations after Whitney and Evans (2010) (Mag: magnetite, Py: pyrite, Srp: serpentine).

صورت بلورهای بی‌شکل تا نیمه‌شکل دار با بافت دانه‌پراکنده (شکل ۱۲-A)، توده‌ای و گاه شکسته و برشی شده (شکل ۱۲-B) مشاهده می‌شوند که در حاشیه‌های بلور و در امتداد شکستگی‌ها، با درجه بسیار ضعیفی به مارتیت (هماتیت) تبدیل شده‌اند. مگنتیت‌ها توسط رگچه‌های پیریت (شکل ۱۲-C) قطع شده‌اند و پیریت و کالکوپیریت در فضای شکستگی‌های مگنتیت (شکل ۱۲-D و E) وجود دارد. وجود ادخال‌هایی از مگنتیت در پیریت (شکل ۱۲-F) نیز نشان‌دهنده ترتیب تبلور مگنتیت قبل از پیریت است. عمدۀ کانه سولفیدی کانسار

### کانه‌نگاری و ساخت و بافت

بر اساس بررسی‌های کانه‌نگاری، مگنتیت کانه اصلی کانسنگ است که با مقداری پیریت و کالکوپیریت همراهی می‌شود. گارنت، سرپانتین، کلینوپیروکسن، اپیدوت، اکنیولیت، کلسیت، کوارتز و الیوین به عنوان کانی‌های باطله حضور دارند. هماتیت، گوتیت و کوولیت نیز در نتیجه فرایندهای بروزنزاد تشکیل شده‌اند.

مگنتیت در نمونه دستی به شکل بلورهای ریز تا درشت (گاه بزرگ‌تر از یک سانتی‌متر) دیده می‌شود. مگنتیت اغلب به

می‌شود. در برخی نقاط، بلورهای مگنتیت نیز به صورت دانه‌پراکنده در متن کانی‌های باطله حضور دارند. بافت برشی در نتیجه تنش زمین‌ساختی و شکسته شدن کانسنگ مگنتیت و تزریق رگه-رگچه‌های کوارتزی و کلسیتی تأخیری در داخل شکستگی‌ها به دست آمده است. بافت رگه-رگچه‌ای شامل رگه-رگچه‌های پیریت، کلسیت، کوارتز و سرپانتین است. بافت جانشینی حاصل دگرسانی کانه‌های اولیه نظری پیریت، کالکوپیریت، الیوین، گارنت و کلینوپیروکسن و جایگزینی آنها توسط گوتیت، کوولیت، سرپانتین، کلسیت، اپیدوت و اکنیولیت است.

### مراحل اسکارن‌زایی

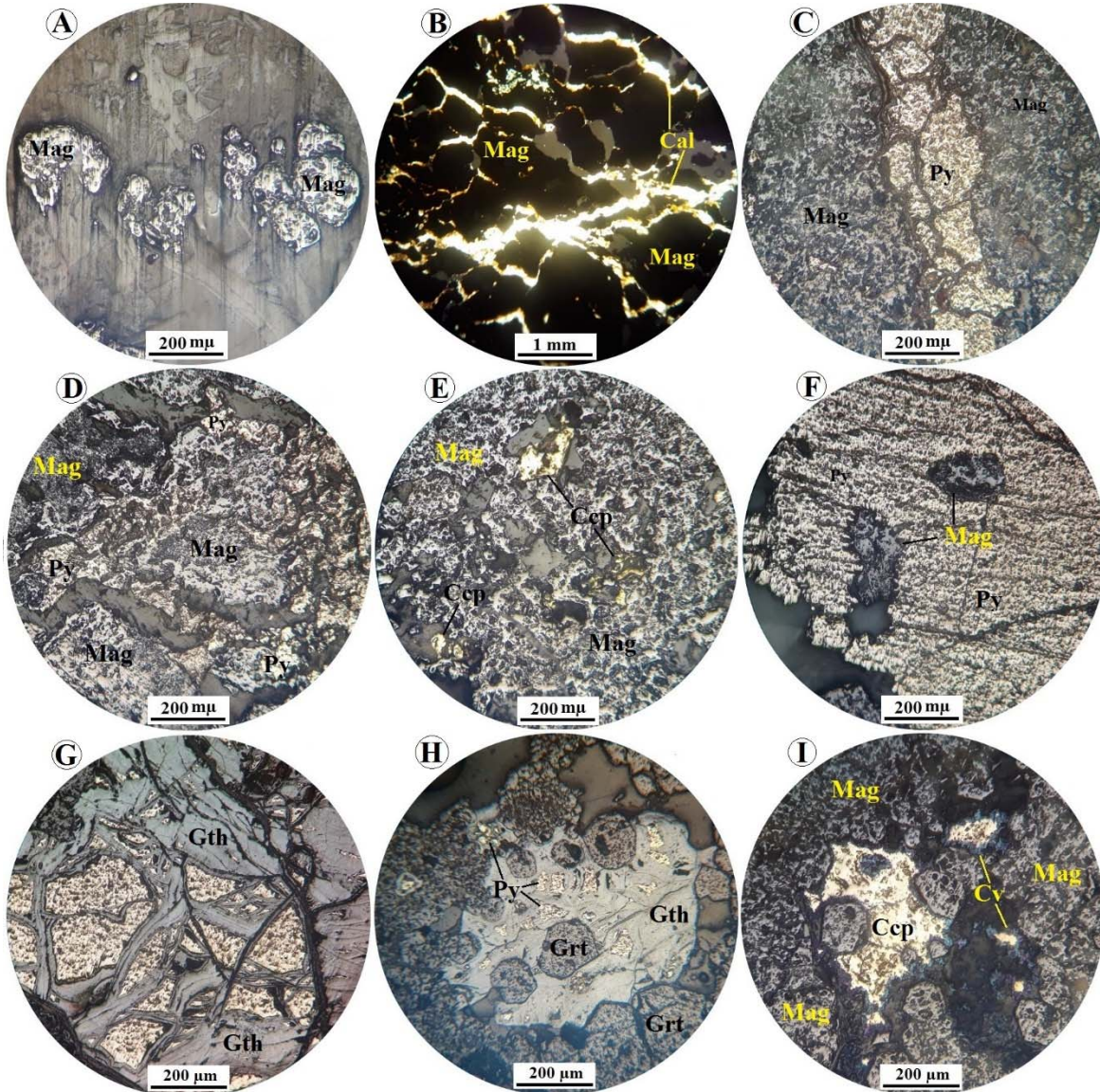
واکنش‌های شیمیایی و مجموعه کانی‌شناسی تشکیل شده در پهنه اسکارنی، به ماهیت پروتولیت، ترکیب شیمیایی توده نفوذی، ترکیب سیالات مهاجم و شرایط دما و فشار بستگی دارد. شواهد صحرایی و بررسی‌های سنگ‌شناسی سنگ‌مادر کربناتیک ناخالص و مجموعه کانی‌شناسی پهنه‌های متاسوماتیک (اسکارنی) نشان می‌دهند که بر اساس تقسیم‌بندی اینودی و همکاران (1981، Einaudi et al.)، اسکارن منطقه مورد بررسی از هر دو نوع اسکارن کلسیک و منیزیمی هستند. بر اساس بررسی‌های کانی‌شناسی و بافتهای می‌توان فرایند اسکارن‌زایی در منطقه مورد بررسی را به سه مرحله اصلی تقسیم کرد:

#### الف) مرحله دگرگونی ایزوشیمیایی

در منطقه علم کندی، نفوذ توده گرانیتوئیدی به داخل توالی دگرگونه پالuszovیک به دگرگونی مجاورتی واحدهای سنگی منجر شده است که در نتیجه این فرایند، سنگ‌های کربناته به مرمر تبدیل شده‌اند. معمولاً در اثر تزریق توده‌های آذرین به یک منطقه، ابتدا در نتیجه شار حرارتی، دگرگونی ایزوشیمیایی در سنگ‌های درون‌گیر به وجود می‌آید (Meinert, 1992). در پهنه مرمر، سنگ‌های کربناته منطقه بر اثر تبلور دوباره به مرمر با بافت موzaیکی تبدیل شده‌اند. در این مرحله، کانی‌های کدر (اکسیدی و یا سولفیدی) تشکیل نشده است.

علم کندی، پیریت است که به صورت نواری (شکل B-11)، رگه-رگچه‌ای (شکل C-11) و دانه‌پراکنده (شکل D-11) مشاهده می‌شود. بررسی‌های میکروسکوپی بیانگر آن است که تشکیل پیریت مربوط به دو نسل متفاوت است. پیریت‌های نسل اول اغلب به صورت بلورهای نیمه‌شكل دار تا بی‌شكل هستند که گاه به گوتیت دگرسان شده‌اند (شکل G-12). شدت دگرسانی گاهی به حدی زیاد است که تنها بقایایی از پیریت به صورت بازماندی باقی‌مانده است (شکل G-12 و H). پیریت نسل دوم به حالت رگچه‌ای مجموعه کانی‌شناسی مگنتیت و پیریت نسل اول را قطع کرده است (شکل C-12). ادخال‌هایی از گارنت در داخل پیریت‌های گوتیتی شده وجود دارد که نشان‌دهنده تبلور پیریت بعد از گارنت است (شکل H-12). همچنین، در مسیر شکستگی‌های بین گارنت‌ها، پیریت به صورت رگچه‌ای تشکیل شده است. کالکوپیریت در مقایسه با پیریت از فراوانی کمتری برخوردار است و به صورت بلورهای بی‌شكل مشاهده می‌شود (شکل E-12 و I). کالکوپیریت‌ها با بافت دانه‌پراکنده حضور دارند. شواهد میکروسکوپی بیانگر تأخیری بودن کالکوپیریت نسبت به پیریت نسل اول است. در نتیجه فرایندهای برون‌زاد، کالکوپیریت به کوولیت دگرسان شده است (شکل I-12). رگچه‌های کربناتی و کوارتزی به صورت منفرد و اغلب متقاطع و گاه دسته رگچه دیده می‌شوند که کانه‌زایی مگنتیت-سولفید را قطع کرده‌اند. شواهد صحرایی و میکروسکوپی بیانگر آن است که ابتدا رگچه‌های کوارتزی تشکیل شده و سپس رگچه‌های کربناتی، کانی‌های موجود و رگچه‌های کوارتزی را قطع کرده‌اند.

بررسی‌های صحرایی و میکروسکوپی انجام شده نشان می‌دهند که ساخت و بافت مواد معدنی و باطله در کانسار آهن علم کندی از نوع توده‌ای، نواری، رگه-رگچه‌ای، دانه‌پراکنده، برشی، جانشینی و بازماندی دیده می‌شود. بافت‌های توده‌ای، نواری و دانه‌پراکنده از بافت‌های اولیه مگنتیت است. بافت لامینه‌ای شامل تناوبی از پیریت و مگنتیت است. بافت دانه‌پراکنده اغلب در پیریت‌های موجود در متن مگنتیت مشاهده



شکل ۱۲. تصاویر میکروسکوپی از کانه‌ها و بافت‌های موجود در کانسار آهن علم کندی. A: بلورهای مگنتیت با بافت دانه‌پراکنده، B: بافت برشی و خُردشده در بلورهای مگنتیت و رگچه‌های کلسیتی تأخیری، C: رگچه پیریت قطع کننده کانه‌زایی مگنتیت، D: بلورهای بی‌شکل پیریت در فضای بین مگنتیت‌ها، E: بلورهای کوچک کالکوپیریت در فضای بین مگنتیت‌ها، F: ادخال‌های مگنتیت درون پیریت، G: بلورهای پیریت دگرسان شده به گوتیت با بافت‌های جانشینی و بازماندی، H: ادخال گارنت در داخل گوتیت حاصل از دگرسانی بروزنزاد پیریت و I: کالکوپیریت دگرسان شده به کوولیت در فضای بین بلورهای مگنتیت. تصویر B در نور عبوری پلازیزه متقاطع، XPL و بقیه تصاویر در نور بازتابی تهیه شده‌اند. علامت اختصاری کانی‌ها از ویتنی و اوائز (Whitney and Evans, 2010) اقتباس شده است (Cal: کلسیت، Ccp: کالکوپیریت، Cv: کوولیت، Grt: گارنت، Gth: گوئیت، Mag: مگنتیت، Py: پیریت).

**Fig. 12.** Microscopic photos from ore minerals and textures in the Alamkandi Fe deposit. A: Disseminated magnetite, B: Brecciated and fractured magnetite crystals and late calcite veinlets, C: Pyrite veinlet crosscutting magnetite mineralization, D: Anhedral pyrite crystals between magnetites, E: Fine-grained chalcopyrite between magnetites, F: Magnetite inclusions within pyrite, G: Alteration of pyrites to goethite with replacement and relict textures, H: Garnet inclusion within pyrite replaced by goethite, and I: Chalcoyrite replacement by covellite between magnetites. Figure B in crossed polarized light (XPL) and other figures in reflected light. Abbreviations after Whitney and Evans (2010) (Cal: calcite, Ccp: chalcopyrite, Cv: covellite, Grt: Garnet, Gth: goethite, Mag: magnetite, Py: pyrite).

(سرپانتین، اپیدوت، ترمولیت-اکتینولیت)، سولفیدها (پیریت و کالکوپیریت)، اکسیدها (مگنتیت) و کربنات (کلسیت) جانشین شده‌اند. در این مرحله، گارنت به مجموعه اپیدوت، کلسیت و کوارتز، الیوین به سرپانتین و پیروکسن به ترمولیت-اکتینولیت و کلسیت دگرسان شده است.

در این مرحله، کانه‌زایی اسکارنی تشکیل شده که طبق بررسی‌ها و شواهد، ابتدا مگنتیت به صورت توده‌ای و دانه‌پراکنده و پس از آن، فاز سولفیدی (پیریت و کالکوپیریت) به صورت دانه‌پراکنده، نواری و رگه-رگچه‌ای تشکیل شده است. کانی‌های رایج دگرسانی در این مرحله سرپانتین، اپیدوت و اکتینولیت هستند که به نظر می‌رسد افزایش محلی اکسیژن نقشی مهم در پیدایش سرپانتین، اکتینولیت و اپیدوت داشته است (Perkins et al., 1986).

حضور گارنت در داخل بلورهای پیریت نشان‌دهنده تشکیل پیریت بعد از گارنت و در مرحله دگرگونی پس‌رونده است. حضور مگنتیت و پیریت به صورت پُرکننده فضای بین بلورهای گارنت و پیروکسن نشان‌دهنده تشکیل گارنت و پیروکسن قبل از تبلور مگنتیت و پیریت است.

**مرحله پس‌رونده پسین:** مجموعه کانی‌های کالک‌سیلیکات‌های بی‌آب و آبدار تشکیل شده در مراحل قبلی، طی این مرحله توسط سیالات نسبتاً دما پایین، دوباره دگرسان می‌شوند و مجموعه کانی‌ای بسیار ریزدانه مشکل از کانی‌های رسی، کلریت و کوارتز را تشکیل می‌دهند. در این مرحله، دمای سیالات پایین بوده و دگرسانی‌ها اغلب در امتداد شکستگی‌ها رخداده است.

### توالی پاراژنیک

شواهد متعددی برای ترسیم توالی پاراژنیک در کانسار آهن علم کندي مدنظر قرار گرفته است که مهم‌ترین آنها شامل موارد زیر است:

۱) حضور گارنت در داخل بلورهای پیریت نشان‌دهنده تشکیل پیریت بعد از گارنت و در مرحله دگرگونی پس‌رونده است.

### ب) مرحله دگرسانی پیش‌رونده (متاسوماتیک)

بعد از جای‌گیری کامل توده گرانیتی و شروع انجاماد، به تاریخ سیال‌های موجود در ماگما به حد اشباع رسیده و به عنوان یک فاز سیال از آن جدا می‌شوند (Meinert, 1992). با پیشرفت تبلور، مقدار و حجم سیالات گرمابی آزادشده از توده نفوذی افزایش می‌یابد. نفوذ و مهاجرت این سیالات به سنگ‌های دربرگیرنده، سبب تحرک و جابه‌جایی عناصر بین دو گرادیان متفاوت شیمیایی و حرارتی شده است و واکنش‌های مناسب ایجاد می‌کند (Meinert, 1992). دگرسانی متاسوماتیک، با واکنش‌های کربن‌زدایی همراه است. این مرحله معمولاً باعث افزایش تخلخل در سنگ میزبان می‌شود. این شکستگی‌ها همراه با شکستگی‌های حاصل از فشار جای‌گیری توده نفوذی و فشار سیالات حاصل از آن، سبب می‌شود تا در امتداد مرز همبزی، معابری برای ورود سیالات به داخل سنگ‌های درون‌گیر که در ابتدای جای‌گزینی توده، دگرگونی حرارتی (ایزوشیمیایی) پیدا کرده‌اند، ایجاد شود. سیالات ماقمابی با دمای بالا (حدود ۶۰۰ درجه سانتی گراد)، سبب متاسوماتیسم پیش‌رونده، به ویژه در نزدیک مرز همبزی توده و تشکیل کانی‌های کالک‌سیلیکات‌های بی‌آب غنی از منیزیم مانند الیوین، گارنت و پیروکسن دیوپسیدی در بخش اسکارن بیرونی می‌شوند. در این مرحله، حجم قابل ملاحظه‌ای از مرمرها در اثر وارد شدن  $\text{SiO}_2$  و  $\text{Mg}$  از ماگما به داخل مرمرها همراه با واکنش‌های کربن‌زدایی در مرمر، به اسکارن بیرونی تبدیل شده است.

### پ) مرحله دگرسانی پس‌رونده

بررسی‌های کانی‌شناسی و بافتی نشان‌دهنده آن است که مرحله پس‌رونده می‌تواند به دو مرحله مجزا، ولی پیوسته تفکیک شود. **مرحله پس‌رونده پیشین:** در این مرحله، در اثر ورود سیالات گرمابی دمای پایین تر و فرایندهای آب‌گیری، کربن‌گیری و سولفیدزایی در امتداد شکستگی‌ها و ریزشکستگی‌های داخل کانی‌های کالک‌سیلیکات‌های بی‌آب، بخشی از کانی‌های کالک‌سیلیکات‌های بی‌آب، بخشی از کانی‌های تشکیل شده‌اند، توسط کانی‌های کالک‌سیلیکات آب‌دار

نشان‌دهنده تبلور آن بعد از پیریت است.

۶) در نتیجه دگرسانی برونزاد، پیریت به گوتیت و کالکوپیریت به کوولیت دگرسان شده است. همچنین، در نتیجه فرایند مارتیتی شدن، مگنتیت در مسیر شکستگی‌ها و حاشیه بلور به همایت تبدیل شده است.

۷) رگه-رگچه‌های تأخیری کوارتزی و کلسیتی، کانه‌ها و کانی‌های مراحل قبلی را قطع کرده‌اند. بر این اساس، توالی پاراژنیک کانه‌ها و کانی‌های موجود در کانه‌زایی آهن در شکل ۱۳ نشان‌داده شده است.

۲) حضور مگنتیت و پیریت به صورت پرکننده فضای بین بلورهای گارنت و پیروکسن، بیانگر تشکیل گارنت و پیروکسن قبل از تبلور مگنتیت است.

۳) گارنت توسط مجموعه کلسیت و اپیدوت، کلینوپیروکسن توسط اکینولیت و کلسیت و همچنین الیوین توسط سرپانتین در مرحله دگرگونی پس‌رونده جانشین شده‌اند.

۴) قطع شدن مگنتیت‌ها توسط رگچه‌های سولفیدی و وجود ادخال‌های مگنتیت داخل پیریت نشان می‌دهد که تشکیل فاز سولفیدی بعد از فاز مگنتیت بوده است.

۵) کالکوپیریت معمولاً در اطراف پیریت تشکیل شده است که

	Isochemical	Metasomatic alteration		Supergene
		Prograde	Retrograde	
Olivine		—	—	
Clinopyroxene		—	—	
Garnet		—	—	
Magnetite		—	—	
Pyrite			—	
Chalcopyrite			—	
Serpentine			—	
Epidote			—	
Actinolite			—	
Chlorite			—	
Hematite			—	
Covelite				
Goethite				—
Quartz			—	
Calcite	—	—	—	

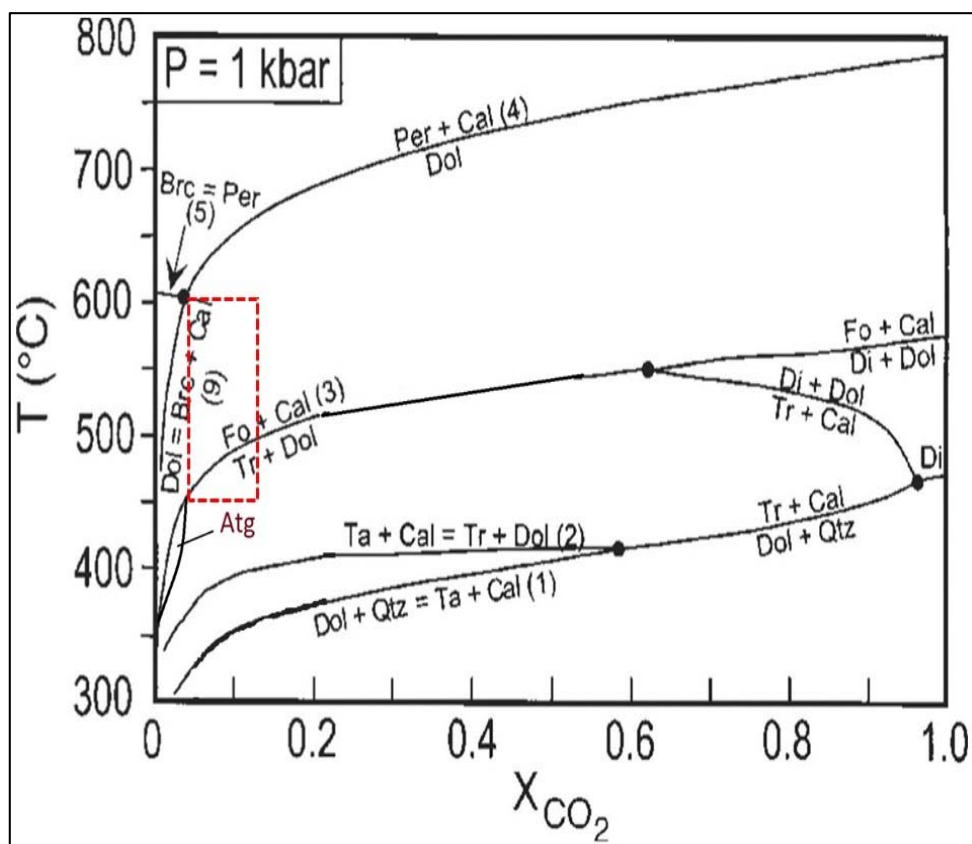
شکل ۱۳. توالی پاراژنیک کانه‌ها و کانی‌های باطله در کانسار آهن علم‌کنندی

Fig. 13. Paragenetic sequence of ore and gangue minerals in the Alamkandi Fe deposit

سیلیس با اکتیویته بالا و در شرایط اکسیدان بوده و موجب کربن‌زدایی و تشکیل کانی‌های سیلیکاته و کالک‌سیلیکاته بی‌آب (مانند الیوین، گارنت و کلینوپیروکسن) شده‌اند. سیالات گرمابی در مرحله دگرگونی پیش‌رونده دارای  $X_{CO_2}$  پایین در حدود ۰/۱ هستند (Einaudi and Burt, 1982). از طرف دیگر، با توجه به نبود ولاستونیت در اسکارن علم کندی و با توجه به شکل ۱۴، حداقل دمای تشکیل فورستریت به حدود ۳۷۵ درجه سانتی گراد می‌رسد.

### شرایط فیزیکوشیمیایی فرایندهای اسکارن‌زایی

با توجه به سیستم باز خروج و ورود سیالات، واکنش‌های دگرگونی در اسکارن‌ها بسیار متنوع است. بر اساس همیافت‌های موجود در این سنگ‌ها، می‌توان واکنش‌های احتمالی را پیش‌بینی کرده و بر اساس آنها محدوده تقریبی فشار و دما را با استفاده از شبکه‌های سنگ‌شناسی بررسی کرد. پس از مرحله ایزوشیمیایی، سیالات داغ رهاسده از توده گرانوپیوریتی به داخل شکستگی‌ها و ریزشکستگی‌های موجود در پهنه مرمر تراوش و نفوذ می‌کنند. این سیالات حاوی منیزیم، آهن و



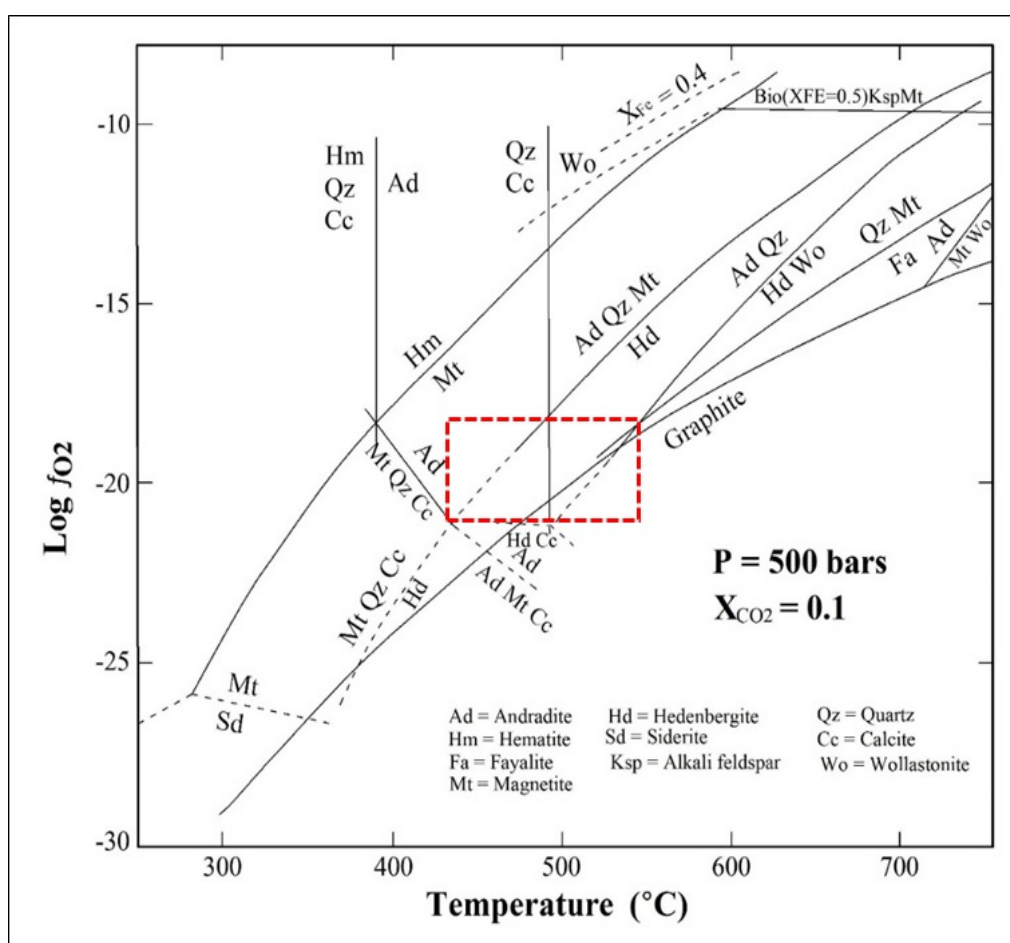
شکل ۱۴. نمودار  $X_{CO_2}$  در مقابل درجه حرارت برای سیستم Ca-Mg-Si-C-O-H برای واکنش‌های کربناتی-سیلیکاتی (Bucher and Frey, 1994). علائم اختصاری کانی‌ها از بوچر و فری (Bucher and Frey, 1994) اقتباس شده است (Atg: آنتی‌گوریت، Brc: بروسیت، Cal: کلسیت، Di: دیوپسید، Dol: دولومیت، Fo: فورستریت، Tr: کوارتز، Qtz: پریکلاز، Ta: تالک).

**Fig. 14.**  $X_{CO_2}$  vs. T diagram for the Ca-Mg-Si-C-O-H system for carbonatic silicate reactions (Bucher and Frey, 1994). Abbreviations after Bucher and Frey (1994) (Atg: antigorite, Brc: brucite, Cal: calcite, Di: diopside, Dol: dolomite, Fo: forsterite, Per: periclase, Qtz: quartz, Tr: tremolite, Ta: talc).

دماهی تبدیل فورستریت به سرپانتین در حدود ۴۵۰ درجه سانتی گراد برآورد می‌شود.

از آنجایی که تمامی کانی‌های موجود در هاله‌های اسکارنی منطقه مورد بررسی در سیستم Ca-Fe-Si-C-O-H قرار می‌گیرند، از نمودار شکل ۱۵ برای تعیین شرایط فیزیکوشیمیابی احتمالی تشکیل اسکارن علم کنده استفاده شده است. این نمودار برای فشار ۰/۵ کیلوبار و  $X\text{CO}_2=0/1$  توسط اینودی (Einaudi, 1982) طراحی شده است.

به اعتقاد بوچر و فری (Bucher and Frey, 1994)، بسته به مقدار کوارتز موجود در دولومیت‌های اولیه، در دماهی ۵۷۰ تا ۶۰۰ درجه سانتی گراد، مرمرها حاوی مقداری قابل ملاحظه‌ای فورستریت خواهند بود. با توجه به شکل ۱۴، بالاترین دماهی تشکیل فورستریت در  $X\text{CO}_2$  حدود ۰/۱ و فشار یک کیلوبار برابر با ۶۰۰ درجه سانتی گراد خواهد بود که در محل تماس با توده نفوذی است. با شروع مرحله دگرگونی پس‌رونده، فورستریت به واسطه واکنش زیر، توسط سرپانتین و مگنتیت جایگزین می‌شود. بر این اساس و با توجه به شکل ۱۴، شروع



شکل ۱۵. نمودار  $f\text{O}_2$  در مقابل درجه حرارت در فشار سیال ۵۰۰ bar و  $X\text{CO}_2=0/1$  برای سیستم Ca-Fe-Si-C-O-H (Einaudi, 1982). محدوده دماهی تشکیل مجموعه گارنت + کلینوپیروکسن در هاله اسکارنی علم کنده بر روی تصویر مشخص شده است.

**Fig. 15.**  $f\text{O}_2$  vs. T diagram in  $P_{\text{fluid}}=500$  bar and  $X\text{CO}_2=0.1$  for Ca-Fe-Si-C-O-H system (Einaudi, 1982). Temperature range for garnet + pyroxene formation in the Alamkandi skarn aureole indicated on diagram.

در محل ثبت می‌شود.

به اعتقاد اینودی (Einaudi, 1982)، در دماهای بیشتر از ۴۳۰ درجه سانتی گراد، حتی در حالت سولفیداسیون بالا، آندرادیت پایدار است (شکل ۱۶-A و B)؛ اما در دماهای کمتر از ۴۳۰ درجه سانتی گراد، سیال در تعادل با توده نفوذی و با حالت سولفیداسیون نسبتاً بالا ( $S_2 > 10^{-6}$ )، دیگر با آندرادیت در تعادل نبوده و آندرادیت به مجموعه کوارتز + کلسیت + پیریت تجزیه می‌شود (شکل C-۱۶). با کاهش حالت سولفیداسیون ( $S_2 < 10^{-6}$ )، چنین سیالی می‌تواند مجموعه کوارتز + کلسیت + مگنتیت را تولید کند (شکل C-۱۶). از آنجایی که در مجموعه کانی‌شناسی اسکارن پس‌رونده پیشین، هر دو کانی مگنتیت و پیریت به همراه کوارتز و کلسیت حضور دارند و تشکیل پیریت نیز بعد از مگنتیت رخداده است، احتمالاً سیال متاسوماتیسم کننده، در این مرحله حداقل دارای  $S_2 = 10^{-6}$  درجه سانتی گراد بوده است (شکل C-۱۶). حضور تیغه‌های هماتیت در داخل مگنتیت که یک بافت هم‌رشدی را نشان می‌دهند، می‌تواند نشان‌دهنده این باشد که  $fO_2$  سیال در شروع دگرسانی پس‌رونده پیشین، احتمالاً در حدود  $10^{-22}$  بوده است (شکل D). در مجموعه کانی‌شناسی اسکارن پس‌رونده پیشین که فقط کانی مگنتیت به همراه سرپاشن حضور دارد و از نظر پاراژنیکی، پیریت بعد از مگنتیت تشکیل شده است، می‌توان گفت که احتمالاً سیال متاسوماتیسم کننده، در این مرحله دارای حداقل فوگاسیته گوگرد برابر  $10^{-6.5}$  بوده است.

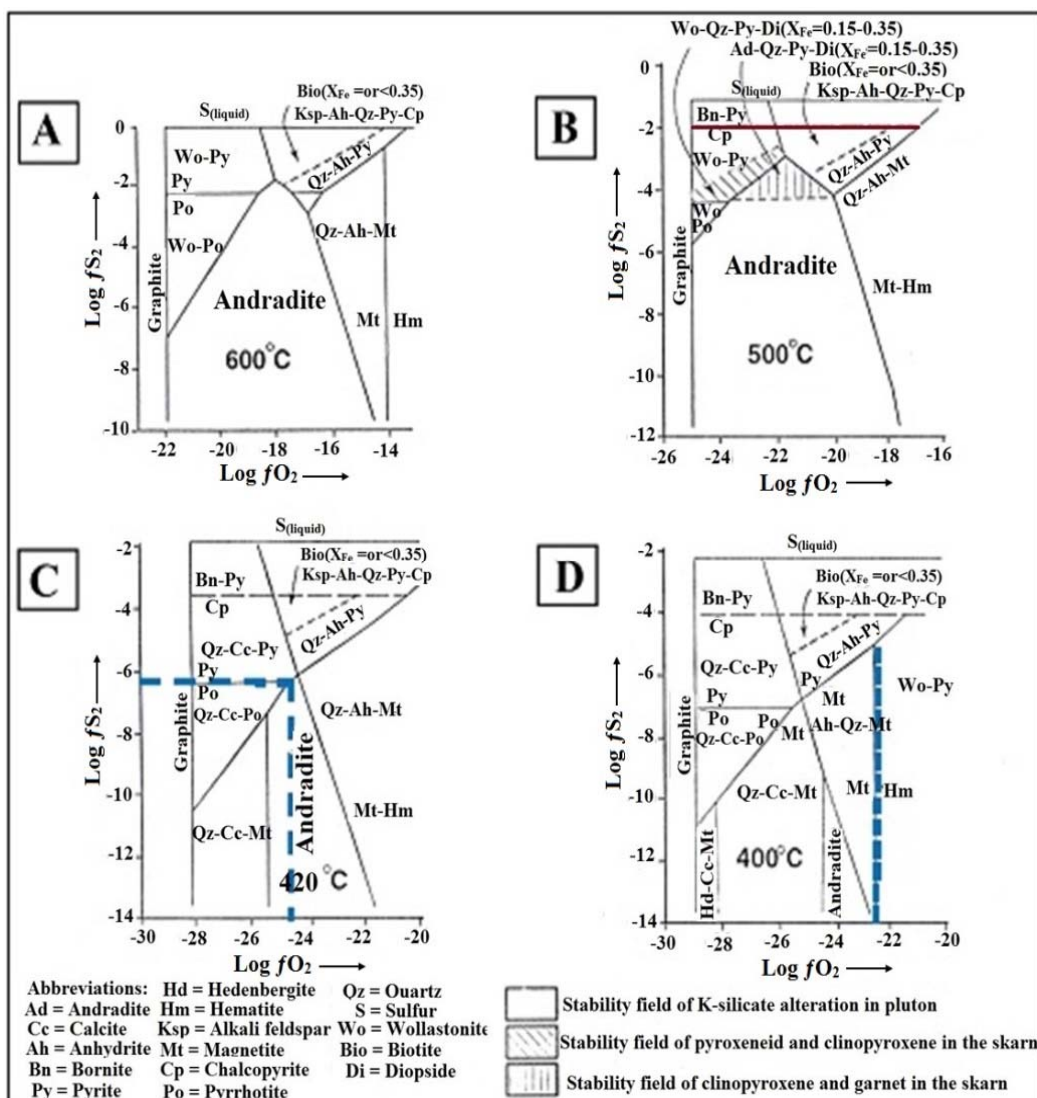
با توجه به مطالب ارائه شده می‌توان نتیجه گرفت که تشکیل هاله اسکارنی در منطقه مورد بررسی، در نتیجه نفوذ توده گرانیتوئیدی به داخل سنگ‌های کربناته موجود در توالی دگرگونی پالئوزوئیک منطقه صورت گرفته است. تشکیل اسکارن‌های منطقه مورد بررسی در دماهای حدود ۵۵۰ درجه سانتی گراد شروع شده و با کاهش دماهای توده و تغییر ترکیب سیالات منشاء گرفته از توده، در شرایط ایزوباریک بعد از اوج دماهی (قبل از تشکیل ولاستونیت) ادامه پیدا کرده است. الیوین فراوان‌ترین کانی هاله اسکارنی بوده که در دماهای حدود ۵۵۰

بر اساس این نمودار، آندرادیت در دماهای ۴۰۰ تا ۷۰۰ درجه سانتی گراد و فوگاسیته اکسیژن<sup>22</sup>  $10^{-10}$  تا  $10^{-12}$  پایدار است. آندرادیت در دماهای بالاتر از ۷۰۰ درجه سانتی گراد توسط مجموعه ولاستونیت + مگنتیت و در دماهای بالاتر از ۵۵۰ درجه سانتی گراد و با حضور کوارتز توسط مجموعه هدنبرژیت + ولاستونیت جایگزین می‌شود. نبود ولاستونیت در همراهی با گارنت‌ها در منطقه مورد بررسی می‌تواند بیانگر این باشد که گارنت در دماهای تا ۵۵۰ درجه سانتی گراد توسط محلول‌های متاسوماتیسم کننده، متبلور شده است. همچنین، جانشینی آندرادیت توسط مجموعه مگنتیت + کلسیت + کوارتز، نشان‌دهنده دماهای حداقل حدود ۴۳۰ درجه سانتی گراد برای واکنش یادشده است. فوگاسیته اکسیژن برای تشکیل گارنت در این شرایط بین  $10^{-18}$  تا  $10^{-22}$  است.

بر این اساس و با توجه به شکل ۱۵، می‌توان گفت که گارنت‌ها در محدوده دماهای ۴۳۰ تا ۵۴۰ درجه سانتی گراد تشکیل شده‌اند. چنین سیالی که در تعادل با کانی‌های توده نفوذی بوده است، می‌تواند تا دماهای حدود ۴۳۰ درجه سانتی گراد با مجموعه کالک‌سیلیکاته بی‌آب تشکیل شده در مرحله پیش‌رونده در تعادل باشد (شکل ۱۵). در دماهای کمتر از ۴۳۰ درجه سانتی گراد، دیگر با مجموعه سیالات در تعادل با توده نفوذی، دیگر با مجموعه کالک‌سیلیکاته بی‌آب در تعادل نبوده و احتمالاً در دماهای کمتر از ۴۳۰ درجه سانتی گراد شروع به دگرسانی کرده‌اند  $fO_2$  (Einaudi, 1982). هدنبرژیت در دماهای بالاتر و  $fO_2$  پایین‌تر (نسبت به آندرادیت) تشکیل می‌شود. با کاهش دما و افزایش  $fO_2$ ، گارنت‌ها به مجموعه اپیدوت + کوارتز + کلسیت + کلینوپیروکسن به مجموعه ترمولیت-اکتینولیت + کوارتز + مگنتیت + کلسیت تجزیه می‌شوند. با در نظر گرفتن اینکه  $XCO_2$  در محیط‌های اسکارنی اغلب ۰/۱ یا کمتر است (Einaudi, 1982)، بر اساس نمودار شکل ۱۵، دماهای کمتر از ۴۵۰ درجه سانتی گراد برای دگرسانی پیروکسن قابل پیش‌بینی است. در جریان این مرحله،  $Ca^{2+}$  به طور پیوسته از کالک‌سیلیکات‌های بی‌آب خارج و به صورت کانی‌های کربناته

الیوین، گارنت و کلینوپیر و کسن تشکیل شده‌اند.

درجه سانتی گراد به صورت فراگیر تشکیل شده است. با کاهش دمای سیالات گرمابی، سرپانطین، اپیدوت و اکتینولیت از تجزیه



شکل ۱۶. نمودارهای  $fO_2$  در مقابل  $fS_2$  برای میدان پایداری آندرادیت بین ۴۰۰ تا ۶۰۰ درجه سانتی گراد و  $XCO_2=0.1$  در هاله اسکارنی علم کندي (Einaudi, 1982)

**Fig. 16.**  $fO_2$  vs.  $fS_2$  diagrams for andradite stability in  $T=400-600\text{ }^{\circ}\text{C}$  and  $XCO_2=0.1$  (Einaudi, 1982) in the Alamkandi skarn aureole

دگرگونی پالیوزوئیک تشکیل شده است. توده گرانیتوئیدی علم کندي دارای ماهیت کالک آلکالن تا کالک آلکالن پتابسیم بالا بوده و از نوع متالومین و I-type است. نتایج به دست آمده

**نتیجه گیری**  
کانسار آهن علم کندي در نتیجه نفوذ توده گرانیتوئیدی علم کندي به داخل سنگ‌های کربناته موجود در توالی

این کانسار شباهت زیادی با دیگر کانسارهای اسکارنی آهن در منطقه زنجان نظیر اسکارن آهن خاکریز- باغ‌کندي، قوزلو، قواق، ارجین، گوزلدره، باشکند و اینچه رهبری دارد. از این‌رو، تعمیم شواهد به دست آمده از این پژوهش‌ها به مناطق مشابه در استان زنجان می‌تواند کاربرد فراوانی در شناسایی و اکشاف کانسارهای اسکارنی آهن داشته باشد.

### قدرتانی

نویسنده‌گان از حمایت‌های مالی دانشگاه زنجان برای انجام این پژوهش تشکر می‌نمایند. همچنین نویسنده‌گان بر خود لازم می‌دانند از سردبیر و داوران نشریه زمین‌شناسی اقتصادی به خاطر راهنمایی‌های علمی که به غنای بیشتر این مقاله منجر شده است، تشکر نمایند.

از مشاهدات صحرايي، ساخت و بافت، سنگ ميزبان، هميافت و زمين‌شيمى کانسار آهن علم کندی بيانگر آن است که رخمنون شمالی اين کانه‌زايی از نوع اسکارن منزيمى و رخمنون جنوبی از نوع اسکارن كلسيک است. اسکارن يرونی در منطقه علم کندی پهنه اصلی را تشکيل داده و خود مشكل از زيرپهنه‌های مختلف است. کانه‌زايی آهن در داخل زيرپهنه اسکارن کانه‌دار متتمرکز شده است. اسکارن زايی در کانسار علم کندی در دو مرحله دگرگونی پيش‌رونده و پس‌رونده رخداده و تشکيل کانه‌زايی مگنتيت با مرحله دگرگونی پس‌رونده همراه بوده است. بررسی‌های کانی‌شناسی و ساخت و بافت کانی‌ها بيانگر آن است که مرحله دگرگونی پيش‌رونده در محدوده دمايی  $430^{\circ}\text{C}$  تا  $550^{\circ}\text{C}$  درجه سانتي گراد و  $10^{-18} - 10^{-22}$  در  $fO_2 = 10$  رخداده است. ويژگی‌های زمین‌شناسی و کانه‌زايی در

### References

- Alavi, M., 1994. Tectonics of the Zagros orogenic belt of Iran: new data and interpretations. *Tectonophysics*, 229(3–4): 211–238. [https://doi.org/10.1016/0040-1951\(94\)90030-2](https://doi.org/10.1016/0040-1951(94)90030-2)
- Andarz, F., 2006. Investigation of mineralogy and controlling factors of iron skarn mineralization of magnesium type in the mineralized region of Arjin, east of Zanjan. (Zanjan province). Unpublished M.Sc. Thesis, Islamic Azad University, Science Research Branch, Tehran, Iran, 156 pp.
- Babakhani, A.R. and Ghalamgash, J., 1996. Geological map of Takht-e-Soleiman, scale 1:100000. Geological Survey of Iran.
- Bakhshizad, F. and Ghorbani, Gh., 2015. Geochemistry, geochronology and tectonic setting of metamorphic rocks from Zanjan-Takab region. *Scientific Quarterly Journal, Geosciences*, 25(97): 361–374. (in Persian with English abstract)
- Besharati, S., Nabatian, Gh. and Sadeghi, A., 2010. Skarn mineralization in the Arjin region (Southwest Soltanieh). The 1<sup>th</sup> conference of the Iranian Economic Geological Society, Ferdowsi University of Mashhad, Mashhad, Iran. (in Persian with English abstract) Retrieved September 12, 2010 from <https://www.en.symposia.ir/CISEG01>
- Bucher, K. and Frey, M., 1994. Petrogenesis of metamorphic rocks. Berlin Heidelberg and New York, Springer-Verlag, 318 pp.
- Chappell, B.W. and White, A.J.R., 2001. Two contrasting granite types: 25 years later. *Australian Journal of Earth Sciences*, 48(4): 489–499. <https://doi.org/10.1046/j.1440-0952.2001.00882.x>
- Einaudi, M.T., 1982. General features and origin of skarns associated with porphyry copper plutons. In: S.R., Titley (Editor), *Advances in geology of the porphyry copper deposits*,

- south-western North America. University of Arizona Press, Tucson, pp. 185–209. Retrieved April 20, 2020 from [http://www.openarchives.org/OAI/2.0/oai\\_dc.xsd](http://www.openarchives.org/OAI/2.0/oai_dc.xsd)
- Einaudi, M.T. and Burt, D.M., 1982. Introduction, terminology, classification and composition of skarn deposits. *Economic Geology*, 77(4): 745–754.  
<https://doi.org/10.2113/gsecongeo.77.4.745>
- Einaudi, M.T., Meinert, L.D. and Newberry, R.J., 1981. Skarn deposits. In: B.J. Skinner (Editor), *Economic Geology. 75<sup>th</sup> Anniversary*, The Economic Geology Publishing Company, Lancaster, Pennsylvania, pp. 317–391.  
<https://doi.org/10.5382/AV75.11>
- Fakhr Shafaie, E., 2016. Petrology and geochemistry of Khakriz granitoid (S Zanjan) and its contact metamorphic aureole. Unpublished M.Sc. Thesis. University of Zanjan, Zanjan, Iran, 97 pp. (in Persian with English abstract)
- Hamidvand, M., 2016. Mineralogy, geochemistry and genesis of Incheh Rahbari Fe deposit, south Zanjan. Unpublished M.Sc. Thesis. University of Zanjan, Zanjan, Iran, 127 pp. (in Persian with English abstract)
- Hastie, A.R., Ker, A.C., Pearce, J.A. and Mitchell, S.F., 2007. Classification of altered volcanic island arc rocks using immobile trace elements: Development of the Th-Co discrimination diagram. *Journal of Petrology*, 48(12): 2341–2357.  
<https://doi.org/10.1093/petrology/egm062>
- Hofmann, A.W., 1988. Chemical differentiation of the earth: the relationship between mantle, continental crust, and oceanic crust. *Earth and Planetary Science Letters*, 90(13): 297–314.  
[https://doi.org/10.1016/0012-821X\(88\)90132-X](https://doi.org/10.1016/0012-821X(88)90132-X)
- Hosseini, F., Hemati Ahouie, H.R. and Karimi, Gh., 2017. Evaluation of intelligent estimator performance in 3D modelling of Shahrak Fe deposit (Bijar). *Journal of Mineral Resources Engineering*, 2(3): 15–23. (in Persian) Retrieved December 20, 2017 from [https://jmre.journals.ikiu.ac.ir/issue\\_199\\_227.html](https://jmre.journals.ikiu.ac.ir/issue_199_227.html)
- Irvine, T.N. and Baragar, W.R.A., 1971. A guide to the chemical classification of the common volcanic rocks. *Canadian Journal of Earth Sciences*, 8(5): 523–548.  
<https://doi.org/10.1139/e71-055>
- Kuster, D. and Harms, U., 1998. Post-collisional potassic granitoids form the southern and northwestern parts of the Late Neoproterozoic East African Orogen: a review. *Lithos*, 45(1–4): 177–195.  
<https://doi.org/10.1016/j.lithos.2016.11.026>
- Maanijou, M. and Khodaie, L., 2018. Mineralogy and electron microprobe studies of magnetite in the Sarab-3 iron Ore deposit, southwest of the Shahrak mining region (East Takab). *Journal of Economic Geology*, 10(1): 267–293. (in Persian with English abstract)  
<https://doi.org/10.22067/econg.v10i1.56522>
- Maanijou, M. and Salemi, R., 2014. Mineralogy, chemistry of magnetite and genesis of Korkora-1 iron deposit, east of Takab, NW Iran. *Journal of Economic Geology*, 6(2): 355–374. (in Persian with extended English abstract)  
<https://doi.org/10.22067/econg.v6i2.22650>
- McDonough, W.F., Sun, S.S., 1995. The composition of the Earth. *Chemical Geology*, 120(3–4): 223–253.  
[https://doi.org/10.1016/0009-2541\(94\)00140-4](https://doi.org/10.1016/0009-2541(94)00140-4)
- Meinert, L.D., 1992. Skarns and skarn deposits. *Geoscience Canada*, 19(4): 145–162.  
<https://doi.org/10.12789/gs.v19i4.3773>
- Meinert, L.D., Dipple, G., and Nicolescu, S., 2005. World skarn deposits. In: J.W. Hedenquist, F.H. Thompson, R.J., Goldfarb, and J.P. Richard (Editors), *Economic Geology. 100<sup>th</sup> Anniversary*, The Economic Geology Publishing Company, Littleton, Colorado, pp. 317–391. <https://doi.org/10.5382/AV100.11>
- Middlemost, E.A.K., 1994. Naming materials in the magma and igneous rock system. *Earth-Science Reveiws*, 37(3–4): 215–224.  
[https://doi.org/10.1016/0012-8252\(94\)90029-9](https://doi.org/10.1016/0012-8252(94)90029-9)
- Moghaddasi, S.J., Ebrahimi, M. and Mohammadi, F., 2019. Mineralogy, geochemistry and genesis of Gozaldarreh iron deposit, southeast Zanjan. *Journal of Economic Geology*, 11(1): 33–55. (in Persian with English abstract)  
<https://doi.org/10.22067/econg.v11i1.60810>
- Mohammad Beigi, N., 2017. Mineralogy, geochemistry and genesis of Qavaq Fe deposit, SW of Dandi (Zanjan). Unpublished M.Sc. Thesis, University of Zanjan, Zanjan, Iran, 131 pp. (in Persian with English abstract)

- Mokhtari, M.A.A., Kouhestani, H., and Gholizadeh, K., 2019. Mineral chemistry and formation conditions of calc-silicate minerals of Qozlou Fe skarn deposit, Zanjan Province, NW Iran. *Arabian Journal of Geosciences*, 12(658): 1–23. <https://doi.org/10.1007/s12517-019-4814-1>
- Müller, D. and Groves, D.I., 1997. Potassic igneous rocks and associated gold-copper mineralization. Springer-Verlag, Switzerland, 242 pp. Retrieved April 20, 2020 from <https://www.springer.com/gp/book/9783642640759>
- Nabatian, Gh., Li, X.H., Honarmand, M. and Melgarejo, J.C., 2017. Geology, mineralogy and evolution of iron skarn deposits in the Zanjan district, NW Iran: Constraints from U-Pb dating, Hf and O isotope analyses of zircons and stable isotope geochemistry. *Ore Geology Reviews*, 84(8): 42–66. <https://doi.org/10.1016/j.oregeorev.2016.10.029>
- Pearce, J.A., Haris, N.B.W. and Tindle, A.G., 1984. Trace element discrimination diagrams for the tectonic interpretation of rocks. *Journal of Petrology*, 25(4): 956–125. <https://doi.org/10.1093/petrology/25.4.956>
- Perkins, E.H., Brown, T.H. and Berman, R.G., 1986. PTX-SYSTEM: Three programs for calculation of pressure-temperature-composition phase diagrams. *Computers and Geosciences*, 12(6): 749–755. [https://doi.org/10.1016/0098-3004\(86\)90028-2](https://doi.org/10.1016/0098-3004(86)90028-2)
- Rafiee, A., 2008. Exploration report of the Alamkandi Fe deposit. Ministry of Industry, Mine and Trade, Zanjan Province, Zanjan, 132 pp. (in Persian)
- Ramezani, J. and Tucker, R.D., 2003. The Saghand region, central Iran: U-Pb geochronology, petrogenesis and implications for Gondwana tectonics. *American Journal of Science*, 303(7): 622–665. <http://dx.doi.org/10.2475/ajs.303.7.622>
- Rollinson, H.G., 1993. Using geochemical data: evaluation, presentation and interpretation. Longman Group UK Limited, London, 352 pp. Retrieved April 20, 2020 from <https://www.routledge.com/Using-Geochemical-Data-Evaluation-Presentation-Interpretation/Rollinson/p/book/9780582067011>
- Schandl, E.S. and Gorton, M.P., 2002. Application of high field strength elements to discriminate tectonic settings in VMS environments. *Economic Geology*, 97(3): 629–642. <https://doi.org/10.2113/gsecongeo.97.3.629>
- Shafaiepour, N., Mokhtari, M.A.A., Kouhestani, H. and Honarmand, M., 2020. Petrology and geochemistry of the Qozlou granitoid and related Fe skarn (west Zanjan). *Journal of Economic Geology*, 12(1): 47–76. (In Persian with extended English abstract) <https://doi.org/10.22067/econg.v12i1.70568>
- Shahbazi, S., Ghaderi, M. and Rashidnejhad Omran, N., 2015. Mineralization stages and iron source of Bashkand deposit based on mineralogy, structure, texture and geochemical evidence, southwest of Soltanieh. *Scientific Quarterly Journal, Geosciences*, 24(95): 355–372. (in Persian with English abstract) <http://dx.doi.org/10.22071/gsj.2015.42471>
- Shand, S.J., 1943. Eruptive rocks: Their genesis, composition, classification, and their relation to ore-deposits with a chapter on meteorite. *Nature*, 120: 872. <https://doi.org/10.1038/120872a0>
- Sheikhi, R., 2005. Economic geology study of Shahrok Fe deposit, east of Takab. Unpublished M.Sc. Thesis, Shahid Beheshti University, Tehran, Iran, 161 pp. (in Persian with English abstract)
- Villaseca, C., Barbero, L. and Rogers, G., 1998. Crustal origin of Hercynian peraluminous granitic batholiths of central Spain: Petrological, geochemical and isotopic (Sr, Nd) constraints. *Lithos*, 43(2): 55–79. [https://doi.org/10.1016/S0024-4937\(98\)00002-4](https://doi.org/10.1016/S0024-4937(98)00002-4)
- Whitney, D.L. and Evans, B.W., 2010. Abbreviations for names of rock-forming minerals. *American Mineralogist*, 95(1): 185–187. <https://doi.org/10.2138/am.2010.3371>
- Wilson, M., 1989. Igneous petrology. Springer, Netherlands, 466 pp. <https://doi.org/10.1007/978-94-010-9388-0>
- Wright, J.B. and McCurry, P., 1997. Geochemistry of calc-alkaline volcanic in northwestern Nigeria, and a possible Pan-African suture zone. *Earth and Planetary Science Letters*, 137(1): 90–96. [https://doi.org/10.1016/0012-821X\(77\)90149-2](https://doi.org/10.1016/0012-821X(77)90149-2)

**COPYRIGHTS**

©2021 The author(s). This is an open access article distributed under the terms of the Creative Commons Attribution (CC BY 4.0), which permits unrestricted use, distribution, and reproduction in any medium, as long as the original authors and source are cited. No permission is required from the authors or the publishers.

**How to cite this article**

Nouri, F., Mokhtari, M.A.A., Izadyar, J. and Kouhestani, H., 2021. Geochemistry and petrogenesis of the Alamkandi granitoid body and Fe skarn (west of Mahneshan, the Zanjan province). Journal of Economic Geology, 13(3): 507–536. (in Persian with English abstract)  
<https://dx.doi.org/10.22067/econg.v13i3.86285>



## Geochemistry and petrogenesis of the Alamkandi granitoid body and Fe skarn (west of Mahneshan, the Zanjan province)

Farzaneh Nouri, Mir Ali Asghar Mokhtari\*, Javad Izadyar and Hossein Kouhestani

Department of Geology, Faculty of Sciences, University of Zanjan, Zanjan, Iran

Submitted: Apr. 05, 2020

Accepted: June 28, 2020

**Keywords:** *Geochemistry, Granitoid, Fe skarn, Takab-Takht-e-Soleyman, Alamkandi, Mahneshan, Zanjan*

### Introduction

Fe skarn deposits are the largest skarn deposits which are exploited for Fe as well as by-products of Cu, Co, Ni and Au (Meinert et al., 2005). They are one of the most important Fe deposits in the Zanjan province which have been exploited in recent years. The Alamkandi Fe deposit is one of these Fe skarn deposits which is located at 35 km west of the Mahneshan within the Takab-Takht-e-Soleyman subzone, northern Sanandaj- Sirjan zone. In this area, alternation of amphibolite, amphibole schist and biotite schist with intercalations of marble belonging to Paleozoic and intruded by late Oligocene alamkandi granitoid exist. This intrusion has caused contact metamorphism and formation of Fe mineralization. Some of the Fe skarn deposits in the Zanjan province were studied during the past years (i.e., Nabatian et al., 2017; Mokhtari et al., 2019) and valuable information is present about their geological and mineralization characteristics. However, the Alamkandi granitoid and Fe deposit have not been studied until the present. In this research study, geochemistry and petrogenesis of the Alamkandi granitoid along with mineralogy, textures and geochemistry of Fe deposit and thermodynamic conditions for formation of contact metamorphic rocks have been studied.

### Materials and methods

This research can be divided into two parts including field and laboratory studies. Field studies include recognition of different parts of granitoid intrusion and skarn aureole along with sampling for

laboratory studies. During field work, 65 samples were selected for petrographic and analytical studies. 19 thin sections and 13 polished thin sections were used for petrographical and mineralogical studies. For geochemical studies, 15 samples from granitoid and ore skarn sub-zone were analyzed by XRF and ICP-MS methods at the Zarazma laboratory, Tehran, Iran.

### Results

Based on petrographic studies, the Alamkandi granitoid is composed of granodiorite, quartz diorite and porphyritic diorite. Granodiorites with hetrogranular texture are composed of plagioclase, quartz, K-feldspar, hornblende and biotite. Quartz diorites indicate porphyroid to seriate and hetrogranular textures and are composed of plagioclase, clinopyroxene, hornblende and quartz. Porphyritic diorites have porphyritic texture with plagioclase and amphiboles phenocrysts. The Alamkandi granitoids demonstrate calc-alkaline to high-K calc-alkaline affinity and can be classified as metaluminous I-type granitoids. Primitive mantle-normalized (McDonough and Sun, 1995) trace elements patterns for the Alamkandi granitoids indicate LILE and LREE enrichment along with negative HFSE anomalies and positive Pb anomaly. Chondrite-normalized (McDonough and Sun, 1995) REE patterns for these rocks demonstrate LREE enrichment (high LREE/HREE ratio). Based on tectonic setting discrimination diagrams, the Alamkandi granitoids were formed in the active continental margin.

Fe mineralization in the Alamkandi area crops out

\*Corresponding author Email: amokhtari@znu.ac.ir

DOI: <https://dx.doi.org/10.22067/econg.v13i3.86285>

in discrete places as massive and lens-shaped bodies. The Northern outcrop body has 150m length and up to 50m width, while the southern outcrop body has 100m length and up to 20m width. Microscopic studies reveal that the skarn zone at the Alamkandi granitoid is composed of garnet skarn, pyroxene skarn, epidote pyroxene skarn, serpentine skarn, and ore skarn sub-zones. Magnetite is the main ore mineral along with some pyrite and chalcopyrite. Garnet, clinopyroxene, olivine, serpentine, epidote, actinolite, calcite and quartz are present as gangue minerals. Based on the field and microscopic studies, the Alamkandi Fe deposit has massive, banded, disseminated, brecciated, vein-veinlets, replacement and relict textures. Based on mineralogical and textural studies, the skarnization processes in the Alamkandi deposit can be divided into 3 stages including: (1) isochemical metamorphic stage, (2) prograde metasomatic stage and (3) retrograde metasomatic stage.

## Discussion

Based on skarn mineralogy, the  $XCO_2$  vs. T and T vs.  $\log fO_2$  diagrams were used to determine the possible physio-chemical conditions. According to these diagrams and considering mineralogical and textural evidence, maximum temperature for formation of olivine in  $XCO_2 \approx 0.1$  and  $P=1kb$  was about 450-600°C. Furthermore, garnet and clinopyroxene were formed simultaneously at 430-550°C and  $fO_2$  equal  $10^{-18}$  to  $10^{-22}$ . In temperatures less than 450°C, olivine was replaced by serpentine while in temperatures less than 430°C and increasing  $fO_2$ , garnet and clinopyroxene were replaced by epidote + quartz + calcite and actinolite + quartz + calcite, respectively. In temperatures less than 430°C, fluids in equilibrium with granitic intrusion and with relatively high sulfidation ( $fS_2 > 10^{-6}$ ), were not in equilibrium with andradite. Therefore, andradite was replaced with quartz + calcite + pyrite. With reducing  $fS_2$  ( $< 10^{-6}$ ), andradite was replaced by quartz + calcite + magnetite. During the early retrograde stage, magnetite and pyrite were formed along with quartz and calcite. Mineralogical studies indicate

that pyrite was formed after magnetite. In this regard, it seems that metasomatic fluids probably had  $fS_2 \approx 10^{-6.5}$  and less than 430°C temperature in the beginning of the retrograde stage. Presence of hematite lamella within the magnetite demonstrates that  $fO_2$  was probably about  $10^{-22}$  in the beginning of retrograde stage.

## Acknowledgment

This research study was made possible by the grant of the office of vice-chancellor for research and technology, the University of Zanjan. We acknowledge their generous support. The reviewers of the Journal of Economic Geology and the editor are also thanked for their constructive comments.

## References

- McDonough, W.F., Sun, S.S., 1995. The composition of the Earth. *Chemical Geology*, 120(3–4): 223–253. [https://doi.org/10.1016/0009-2541\(94\)00140-4](https://doi.org/10.1016/0009-2541(94)00140-4)
- Meinert, L.D., Dipple, G., and Nicolescu, S., 2005. World skarn deposits. In: J.W. Hedenquist, F.H. Thompson, R.J., Goldfarb, and J.P. Richard (Editors), *Economic Geology*, 100<sup>th</sup> Anniversary, The Economic Geology Publishing Company, Littleton, Colorado, pp. 317–391. <https://doi.org/10.5382/AV100.11>
- Mokhtari, M.A.A., Kouhestani, H., and Gholizadeh, K., 2019. Mineral chemistry and formation conditions of calc-silicate minerals of Qozlou Fe skarn deposit, Zanjan Province, NW Iran. *Arabian Journal of Geosciences*, 12(658): 1–23. <https://doi.org/10.1007/s12517-019-4814-1>
- Nabatian, Gh., Li, X.H., Honarmand, M. and Melgarejo, J.C., 2017. Geology, mineralogy and evolution of iron skarn deposits in the Zanjan district, NW Iran: Constraints from U-Pb dating, Hf and O isotope analyses of zircons and stable isotope geochemistry. *Ore Geology Reviews*, 84(8): 42–66. <https://doi.org/10.1016/j.oregeorev.2016.10.029>